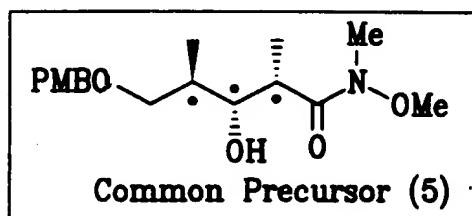
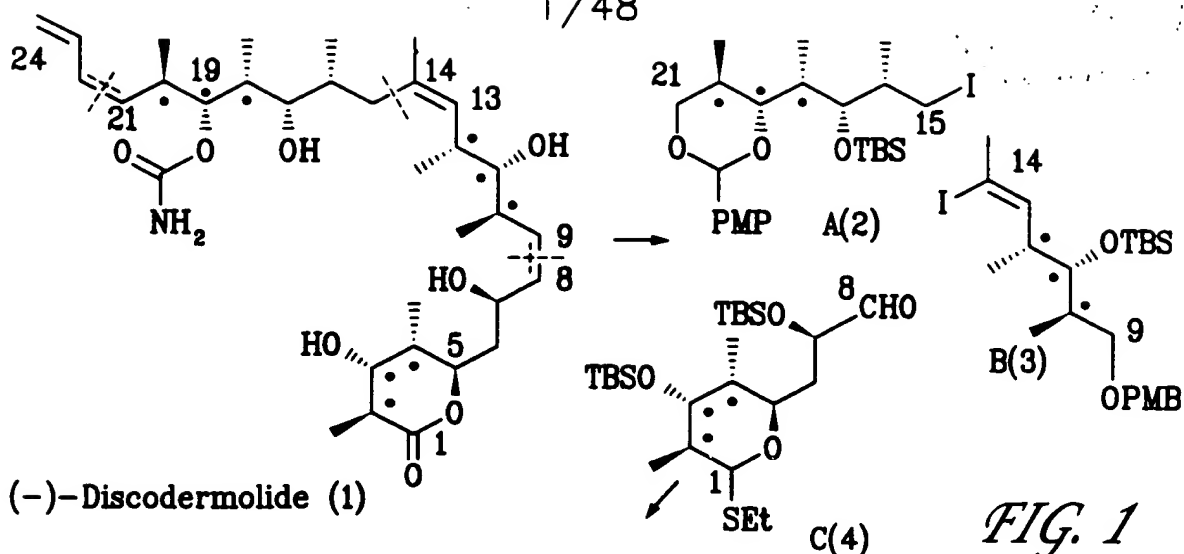
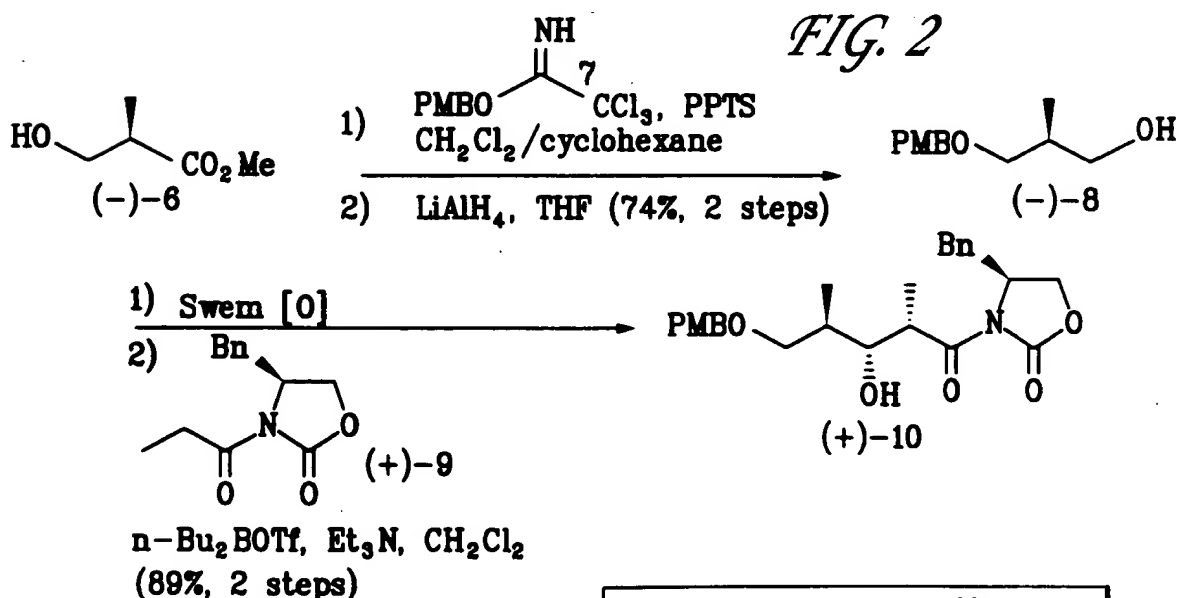


1/48



\* Denotes the repeating stereochemical triad



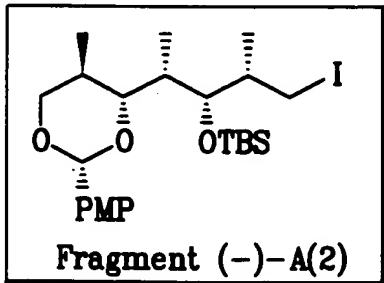
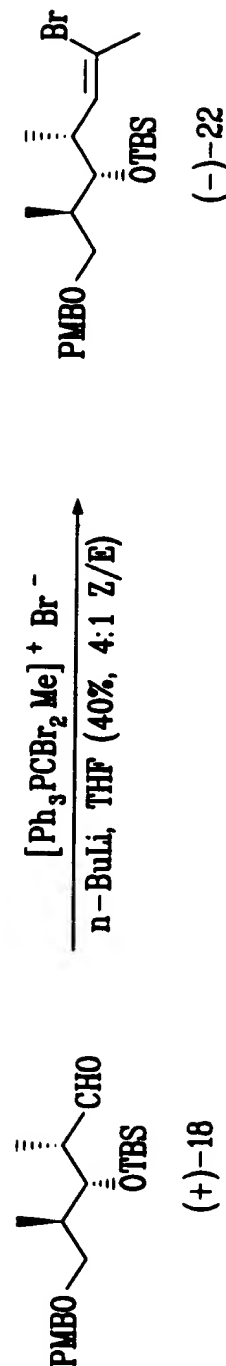
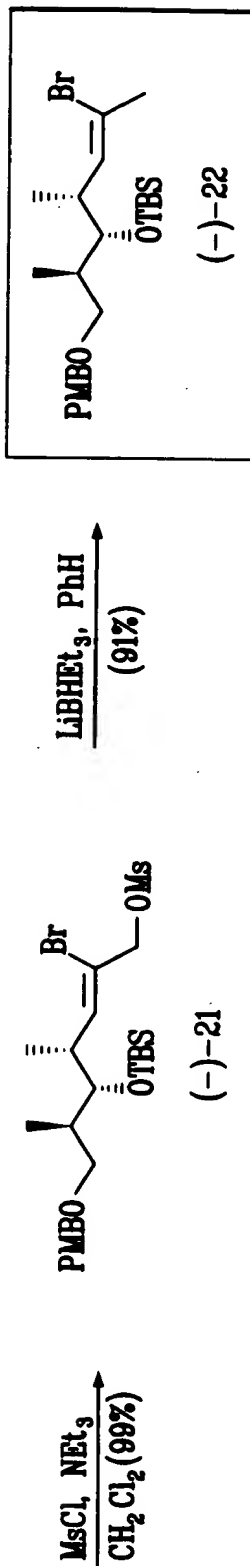
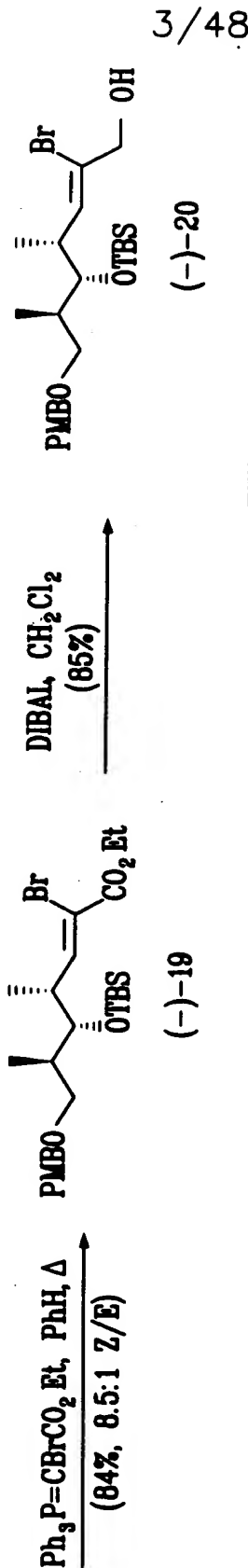
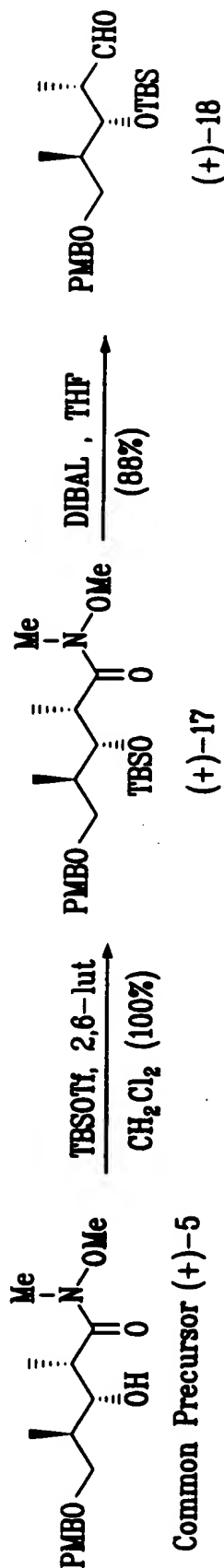
[illegible]

FIG. 4



姓名	性别	年龄	籍贯	民族	文化程度	职业	住址	联系电话	备注
王德胜	男	45	山东	汉族	高中	教师	济南市	12345678	
李小明	男	32	河南	汉族	大学	工程师	郑州市	87654321	
张小红	女	28	江苏	汉族	初中	护士	南京市	56789012	
赵国强	男	55	四川	汉族	小学	农民	成都市	34567890	
陈丽娟	女	38	广东	汉族	高中	售货员	广州市	23456789	
周大伟	男	42	湖北	汉族	大学	医生	武汉市	90123456	
吴小芳	女	25	浙江	汉族	初中	工人	杭州市	78901234	
孙志刚	男	35	安徽	汉族	高中	技术员	合肥市	67890123	
郑秀英	女	48	湖南	汉族	小学	家庭主妇	长沙市	45678901	
马建刚	男	30	广西	汉族	大学	程序员	南宁市	10987654	
黄文娟	女	22	福建	汉族	高中	学生	福州市	09876543	
徐伟明	男	40	江西	汉族	初中	司机	南昌市	89012345	
林小华	女	33	山西	汉族	大学	会计	太原市	70123456	
周国强	男	50	陕西	汉族	小学	工人	西安市	60123457	
吴丽娟	女	27	四川	汉族	高中	教师	成都市	50123458	
孙志刚	男	36	广东	汉族	大学	工程师	广州市	40123459	
郑秀英	女	46	湖北	汉族	初中	售货员	武汉市	30123460	
马建刚	男	29	浙江	汉族	高中	工人	杭州市	20123461	
黄文娟	女	21	安徽	汉族	大学	学生	合肥市	10123462	
徐伟明	男	39	湖南	汉族	初中	司机	长沙市	00123463	
林小华	女	31	广西	汉族	高中	会计	南宁市	90123464	
周国强	男	49	福建	汉族	小学	工人	福州市	80123465	
吴丽娟	女	26	江西	汉族	大学	教师	南昌市	70123466	
孙志刚	男	37	山西	汉族	高中	技术员	太原市	60123467	
郑秀英	女	47	陕西	汉族	初中	家庭主妇	西安市	50123468	
马建刚	男	28	四川	汉族	大学	程序员	成都市	40123469	
黄文娟	女	20	广东	汉族	高中	学生	广州市	30123470	
徐伟明	男	38	湖北	汉族	初中	司机	武汉市	20123471	
林小华	女	30	浙江	汉族	大学	会计	杭州市	10123472	
周国强	男	48	安徽	汉族	小学	工人	合肥市	00123473	
吴丽娟	女	25	湖南	汉族	高中	教师	长沙市	90123474	
孙志刚	男	34	广西	汉族	大学	工程师	南宁市	80123475	
郑秀英	女	44	福建	汉族	初中	售货员	福州市	70123476	
马建刚	男	27	江西	汉族	高中	工人	南昌市	60123477	
黄文娟	女	19	山西	汉族	大学	学生	太原市	50123478	
徐伟明	男	37	陕西	汉族	初中	司机	西安市	40123479	
林小华	女	29	四川	汉族	高中	会计	成都市	30123480	
周国强	男	47	广东	汉族	小学	工人	广州市	20123481	
吴丽娟	女	24	湖北	汉族	大学	教师	武汉市	10123482	
孙志刚	男	33	浙江	汉族	高中	技术员	杭州市	00123483	
郑秀英	女	43	安徽	汉族	初中	家庭主妇	合肥市	90123484	
马建刚	男	26	湖南	汉族	大学	程序员	长沙市	80123485	
黄文娟	女	18	广西	汉族	高中	学生	南宁市	70123486	
徐伟明	男	36	福建	汉族	初中	司机	福州市	60123487	
林小华	女	28	江西	汉族	大学	会计	南昌市	50123488	
周国强	男	46	山西	汉族	小学	工人	太原市	40123489	
吴丽娟	女	23	陕西	汉族	高中	教师	西安市	30123490	
孙志刚									

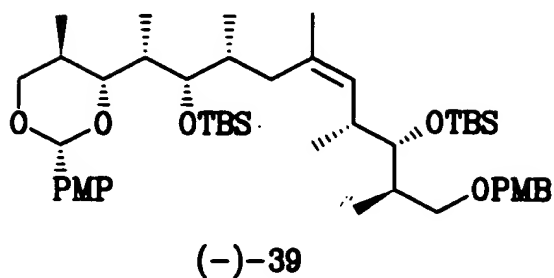


FIG. 7

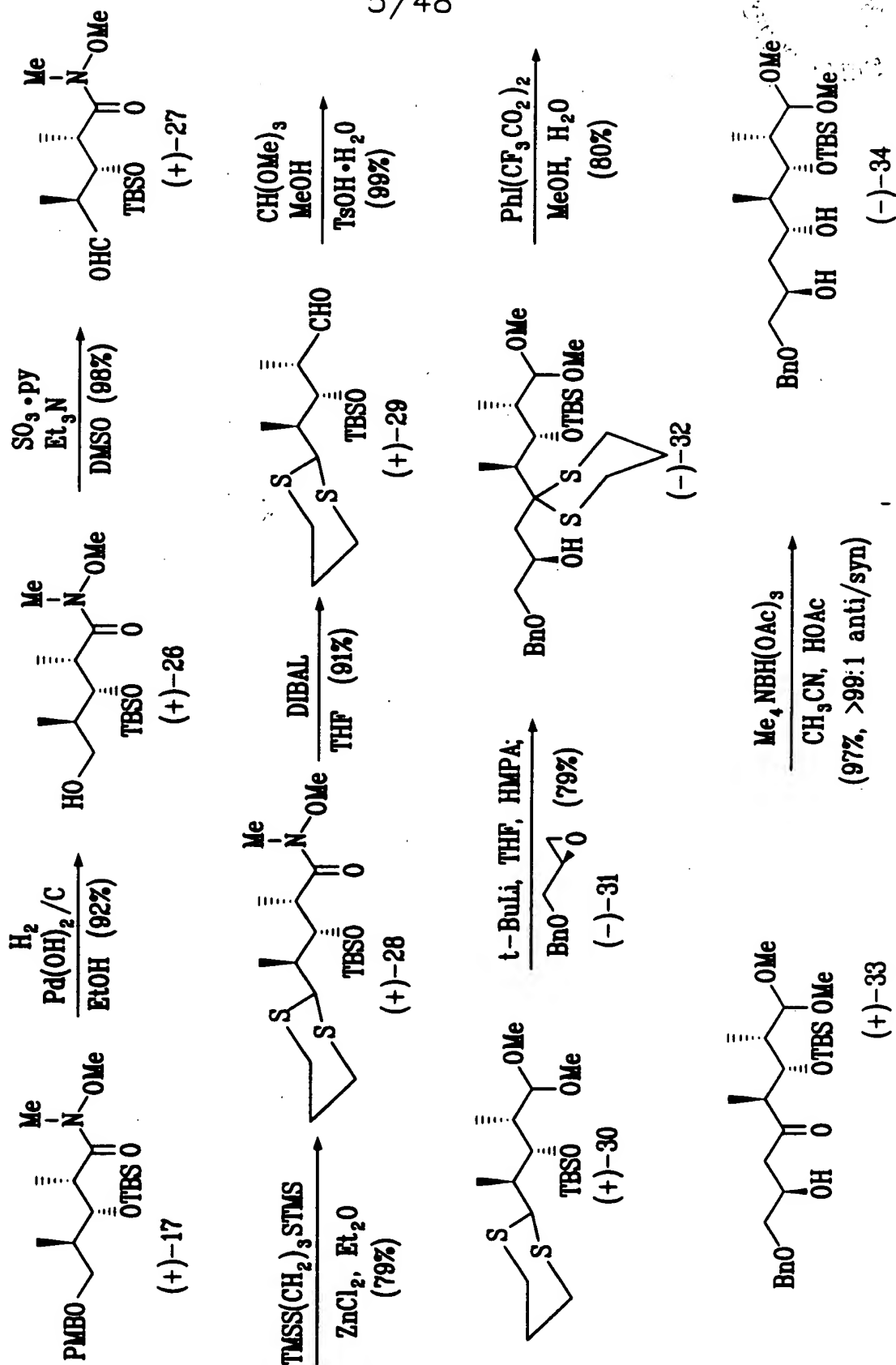


FIG. 8

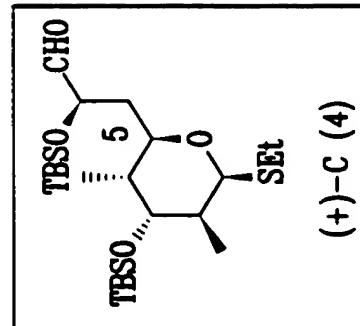
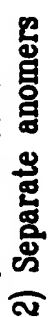
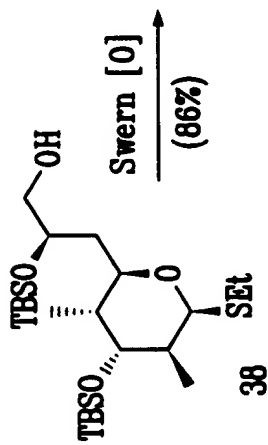
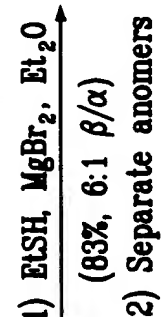
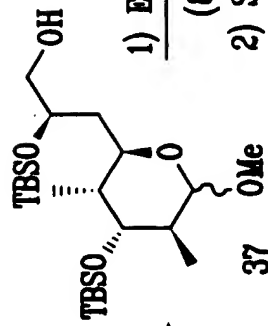
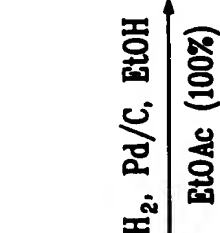
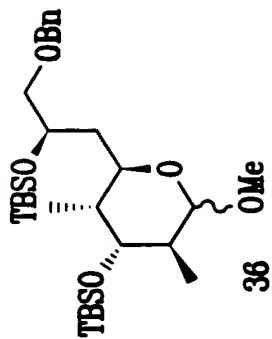
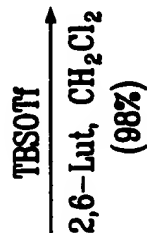
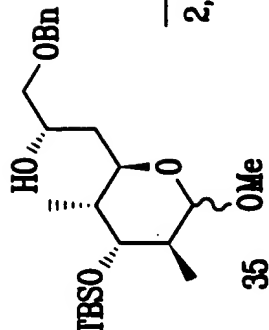
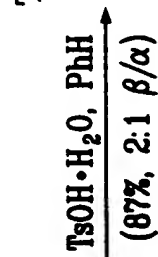
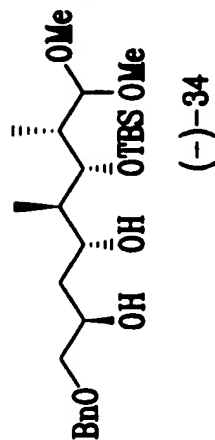


FIG. 9

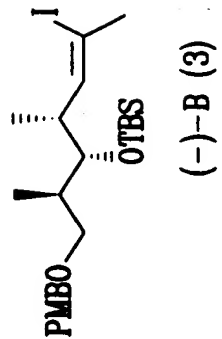
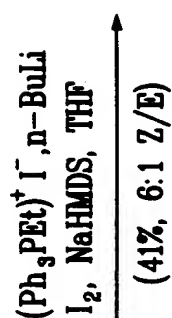
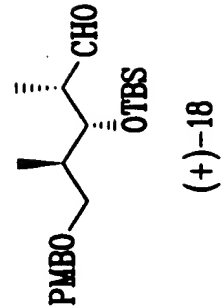
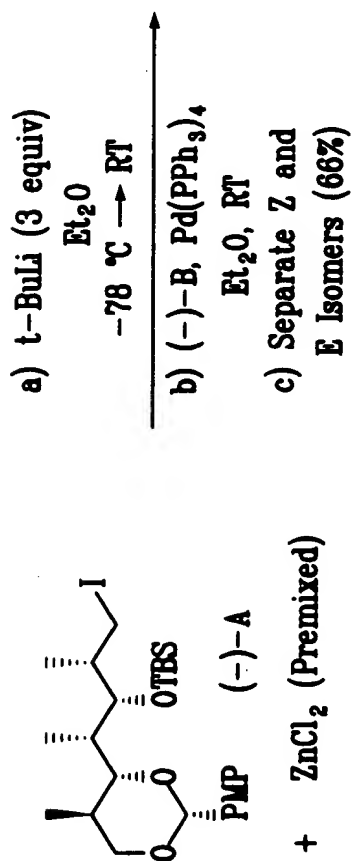


FIG. 10



7/48

FIG. 11

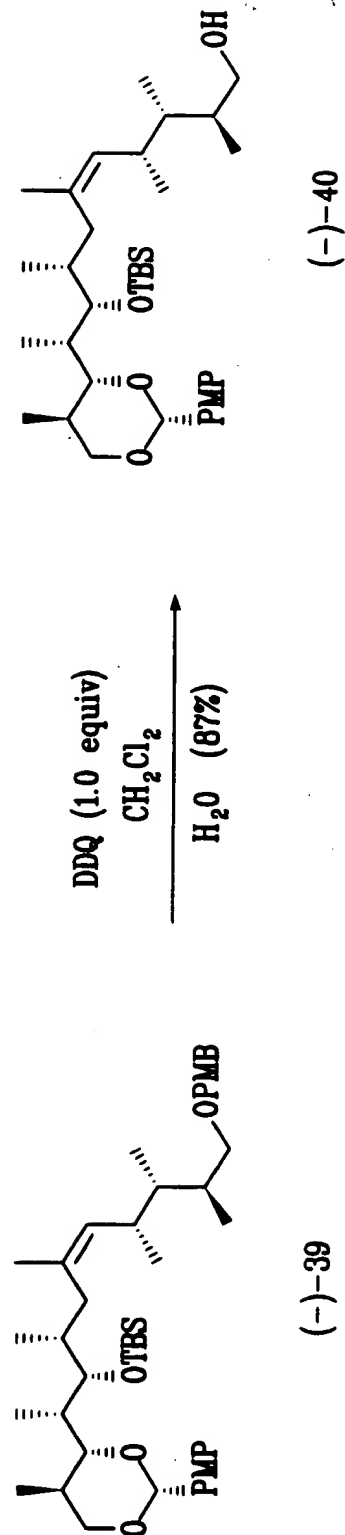
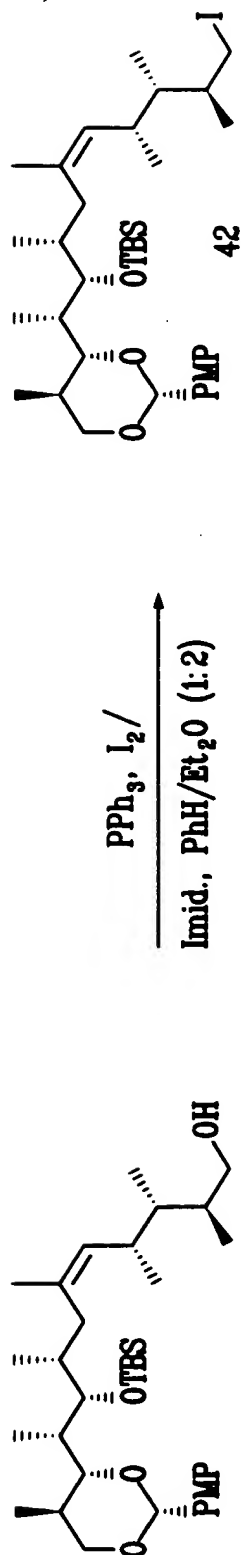
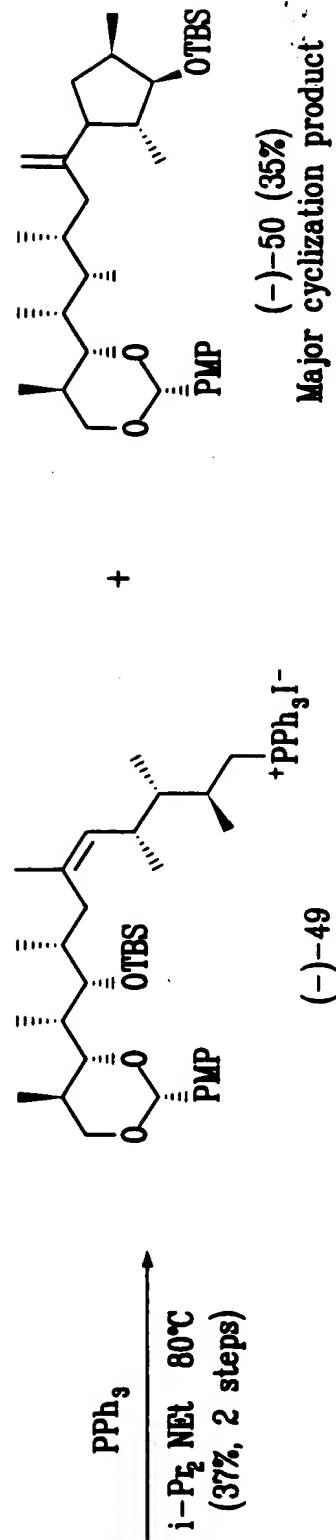


FIG. 12

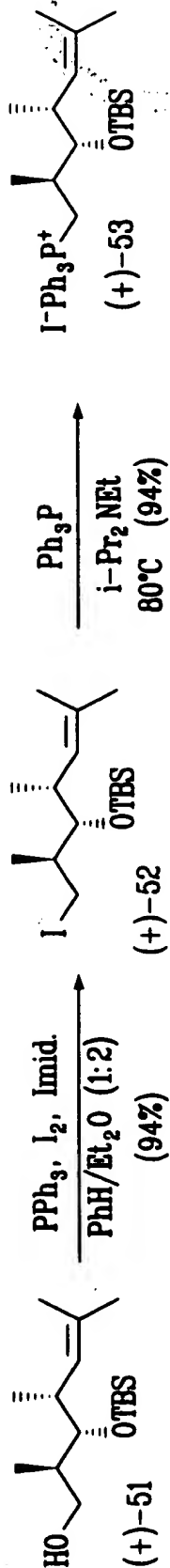


8/48





9/48



10/48

FIG. 14

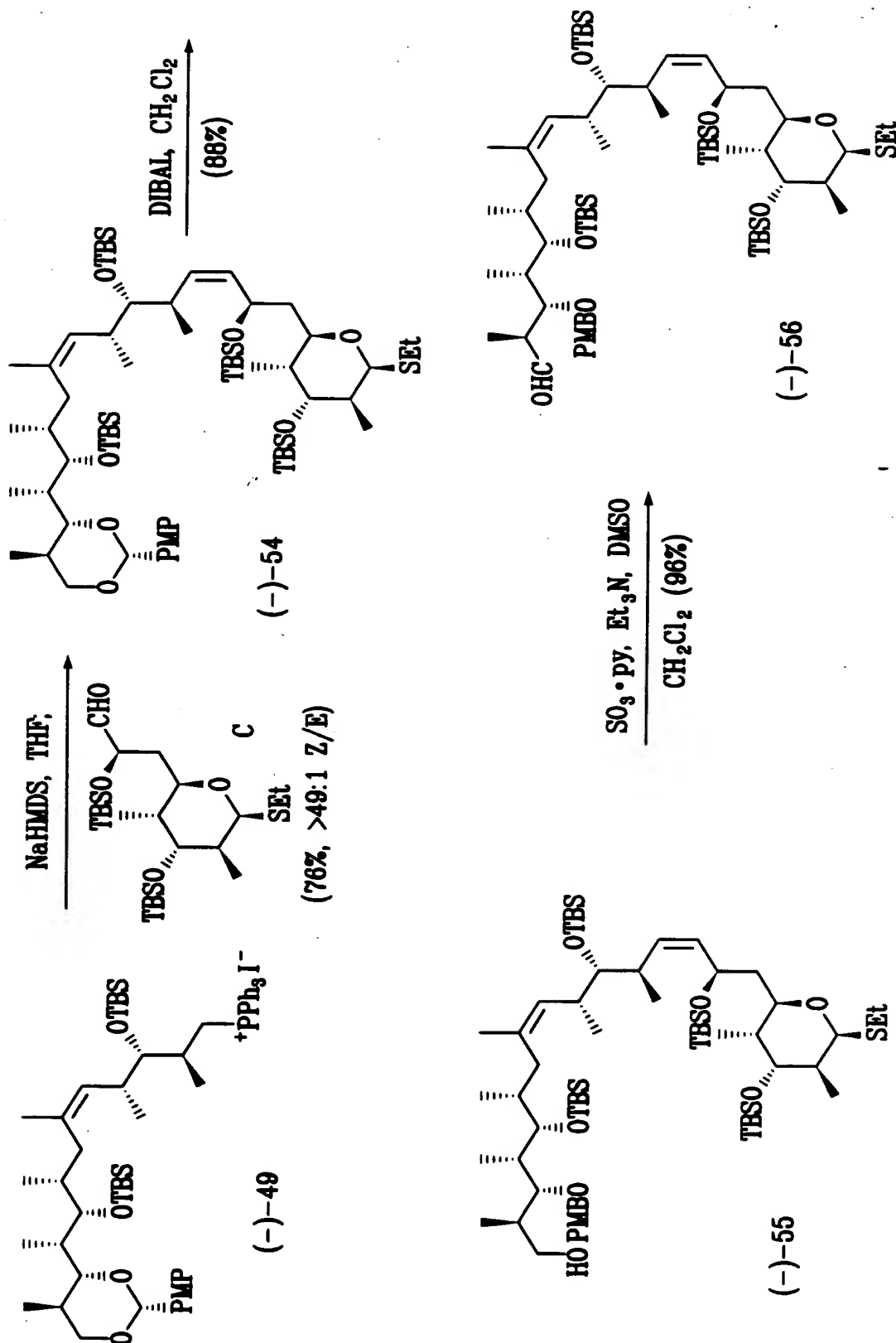


FIG. 15

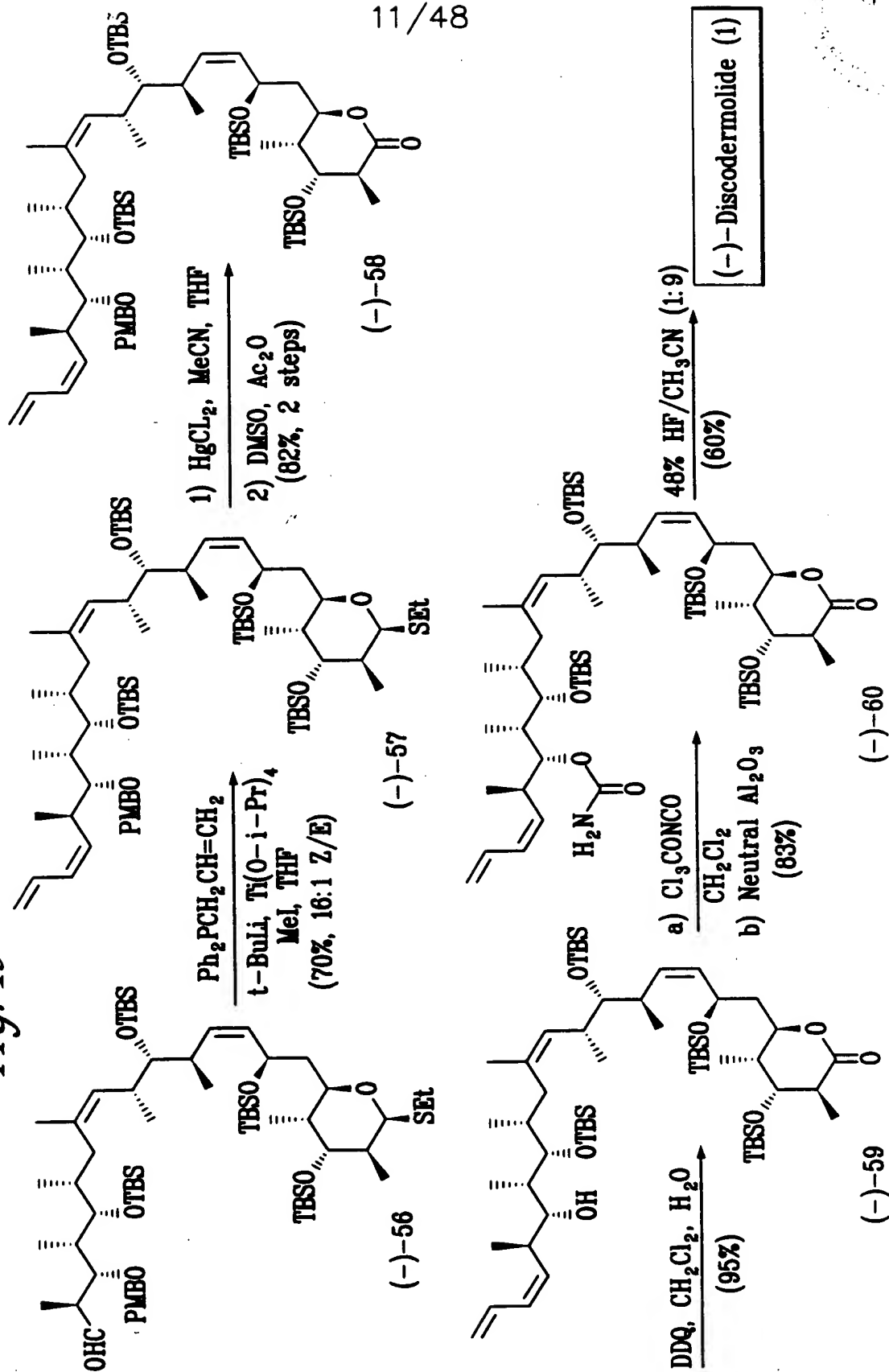
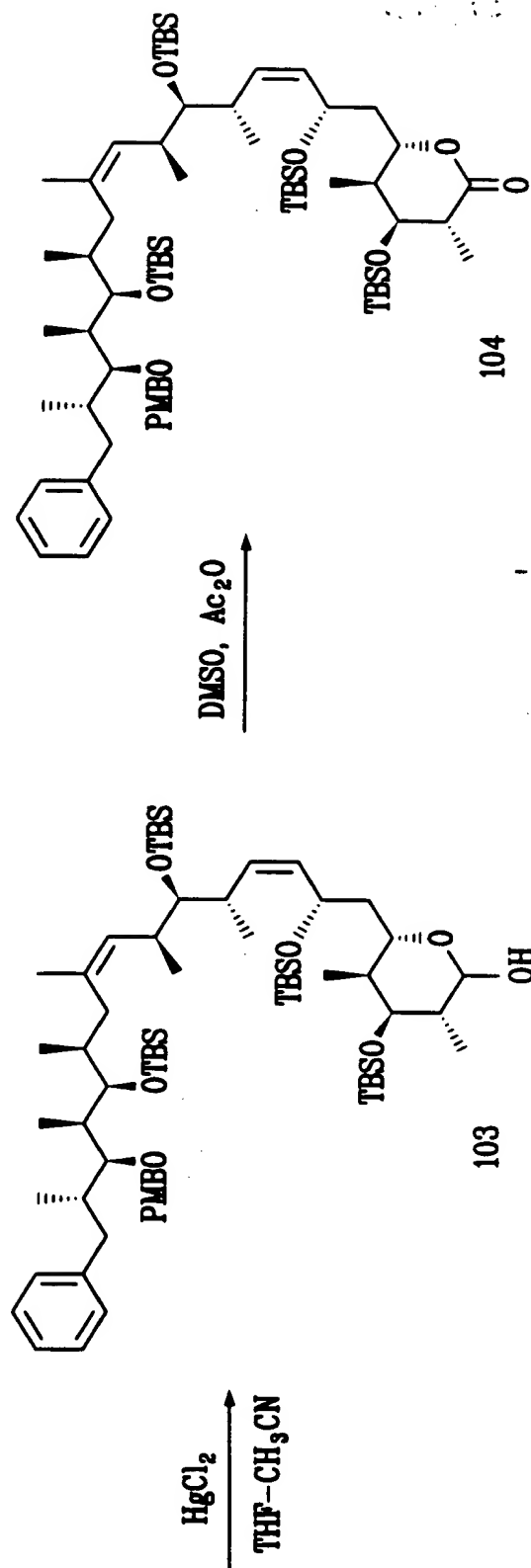
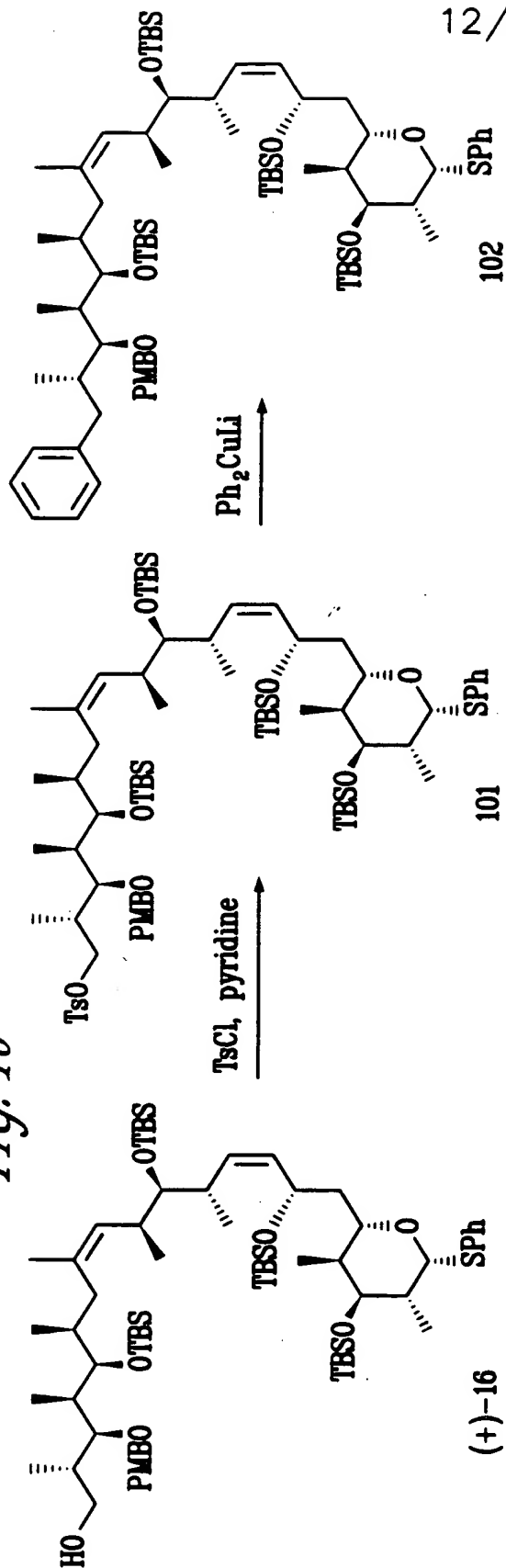


FIG. 16

APPROVED	O.G. FIG.
BY	CLASS
DRAFTSMAN	SUBCLASS
	549 292

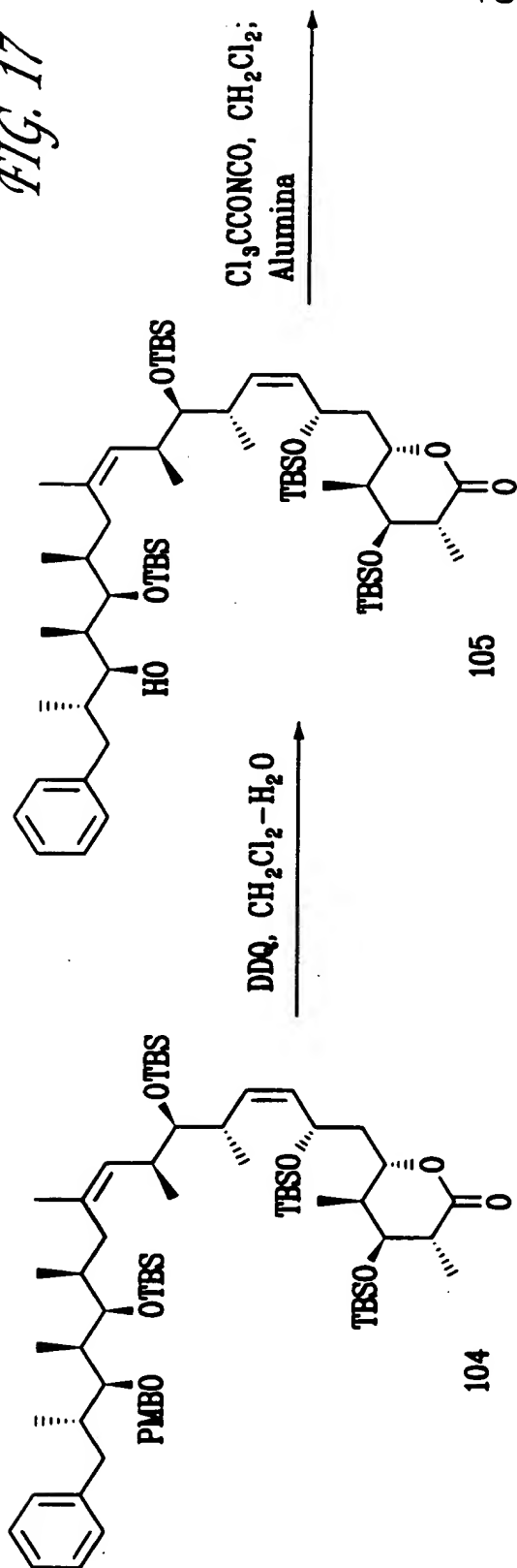
12/48



200210 22602460

APPROVED	O.G. FIG.
BY	CLASS
DRAFTSMAN	SUBCLASS
	549
	292

FIG. 17



13/48

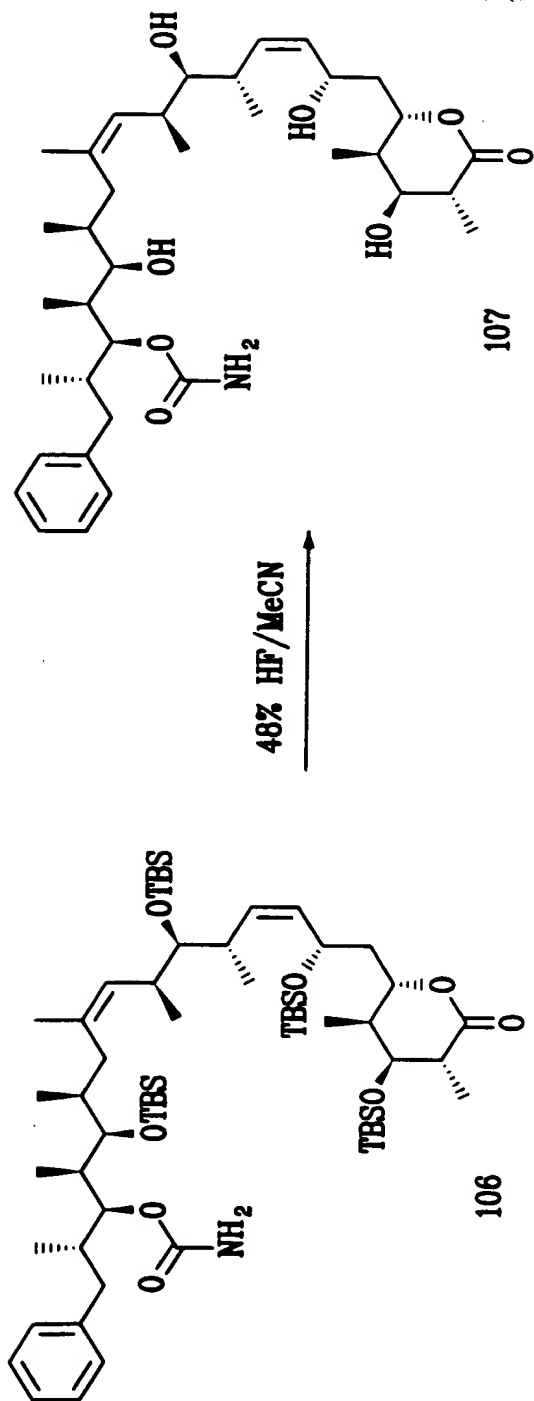
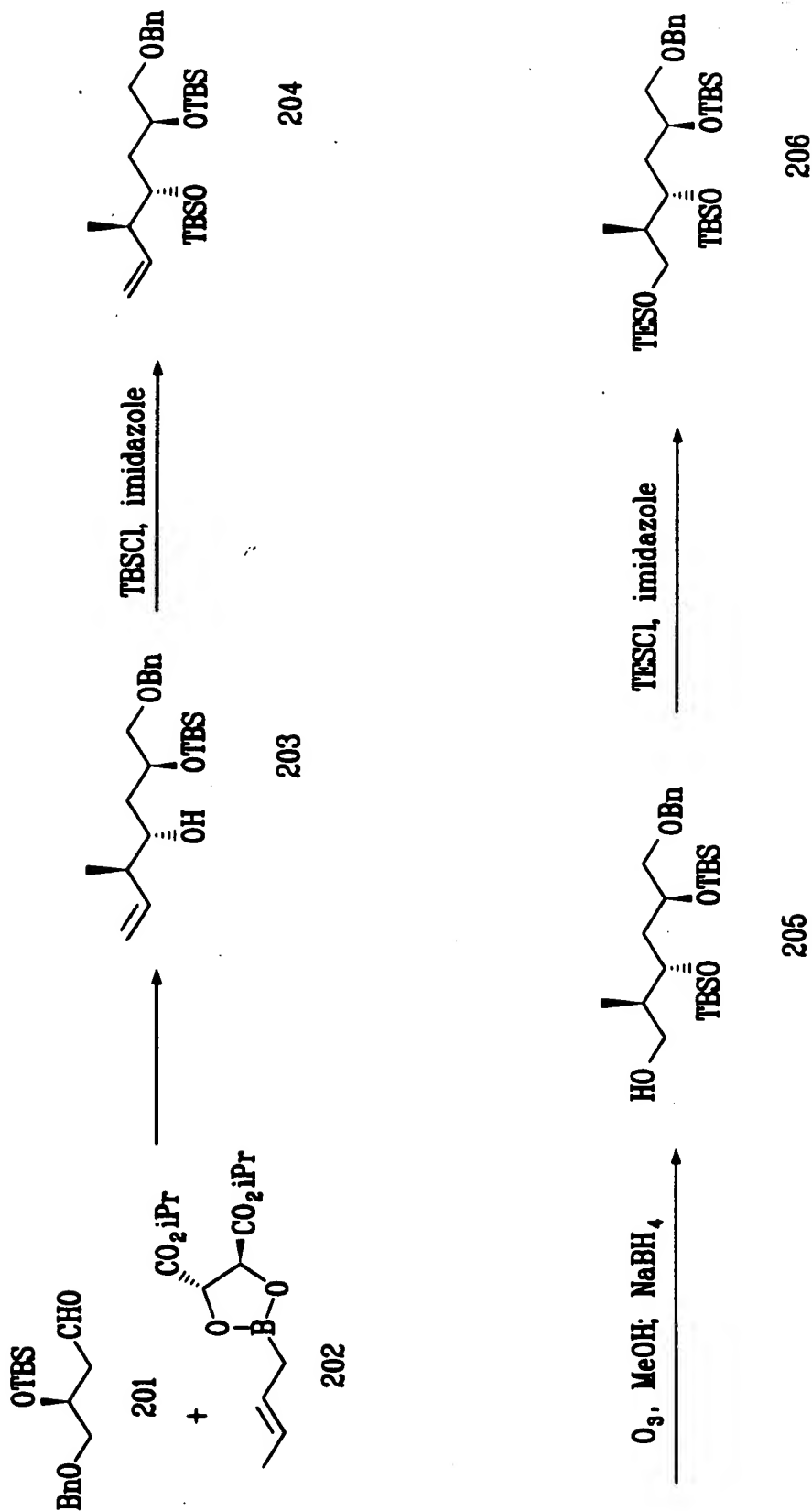
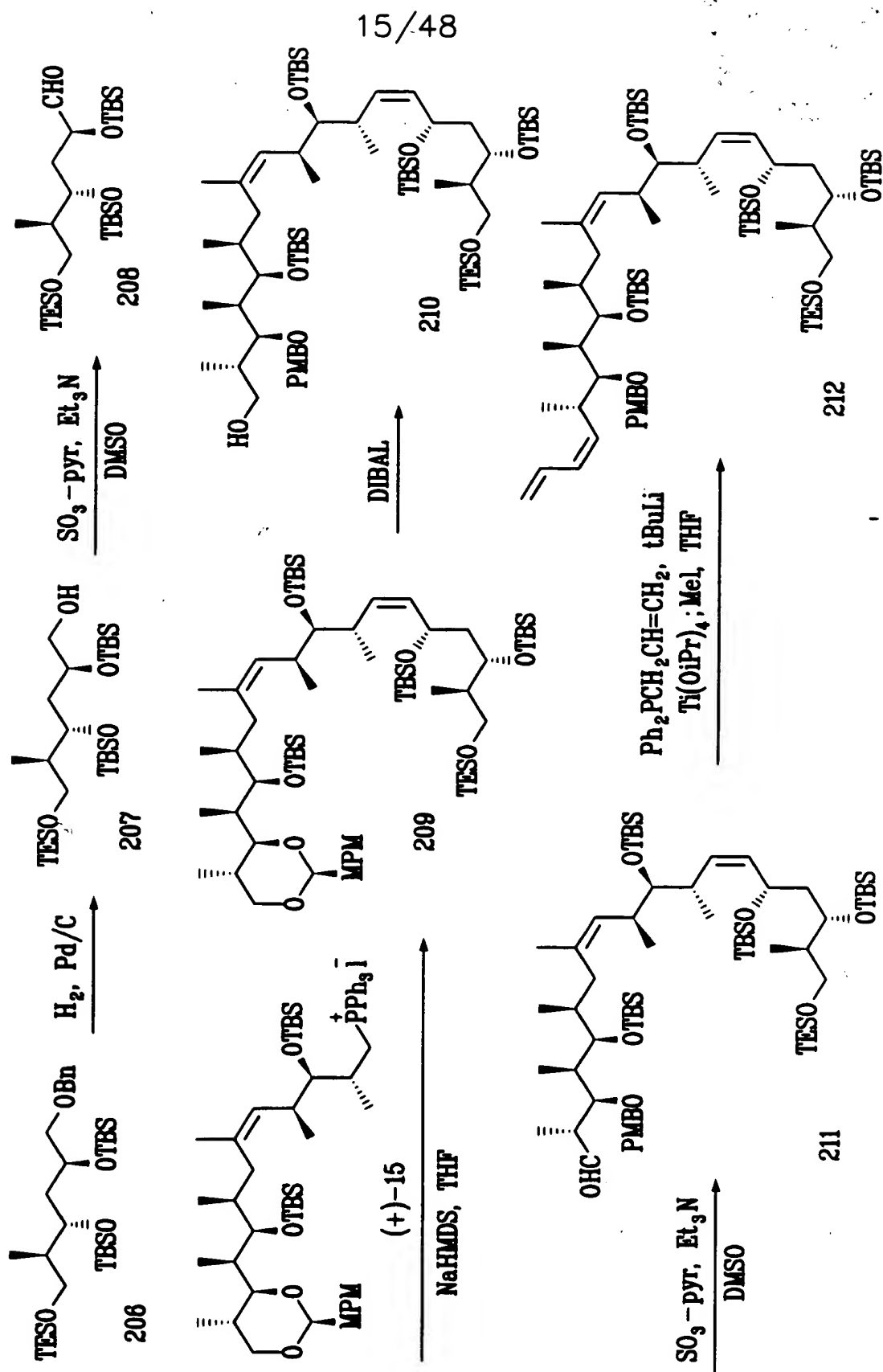


FIG. 18



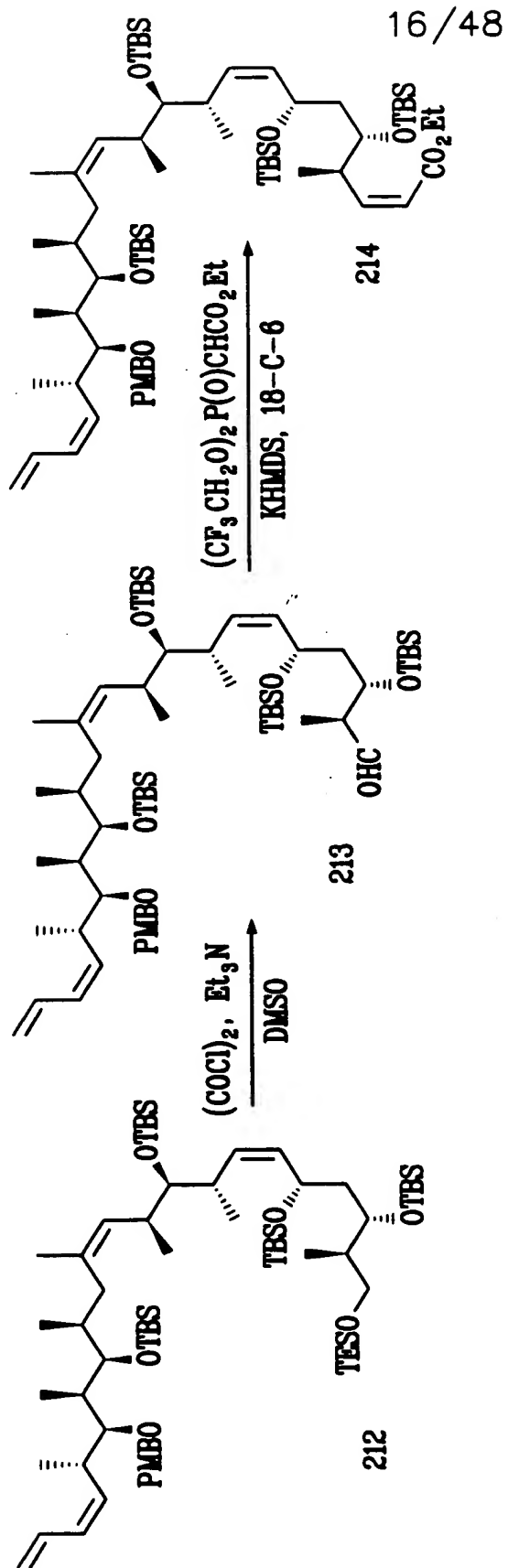
000000 000000 000000

FIG. 19



202210 6260260

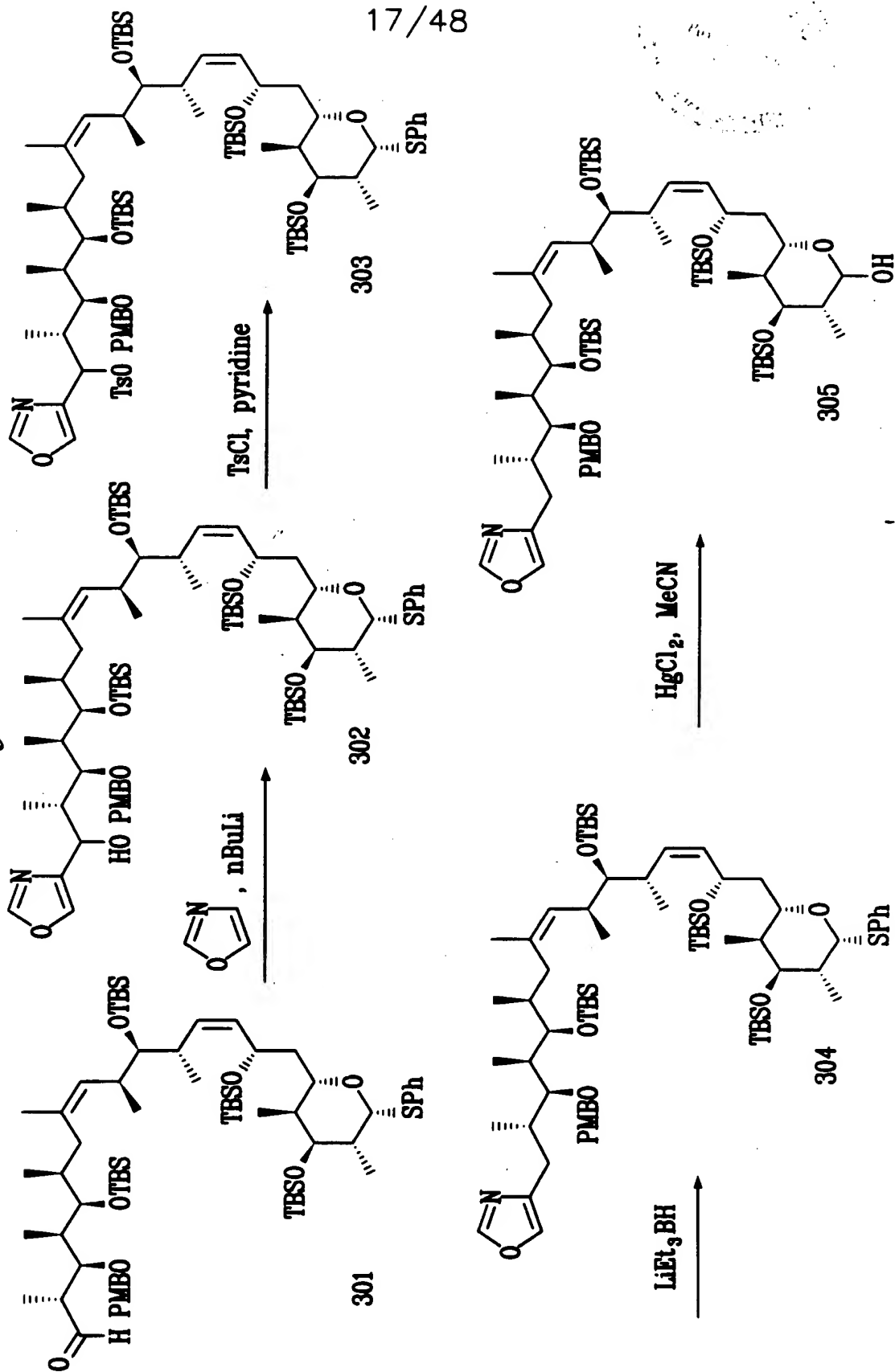
FIG. 20



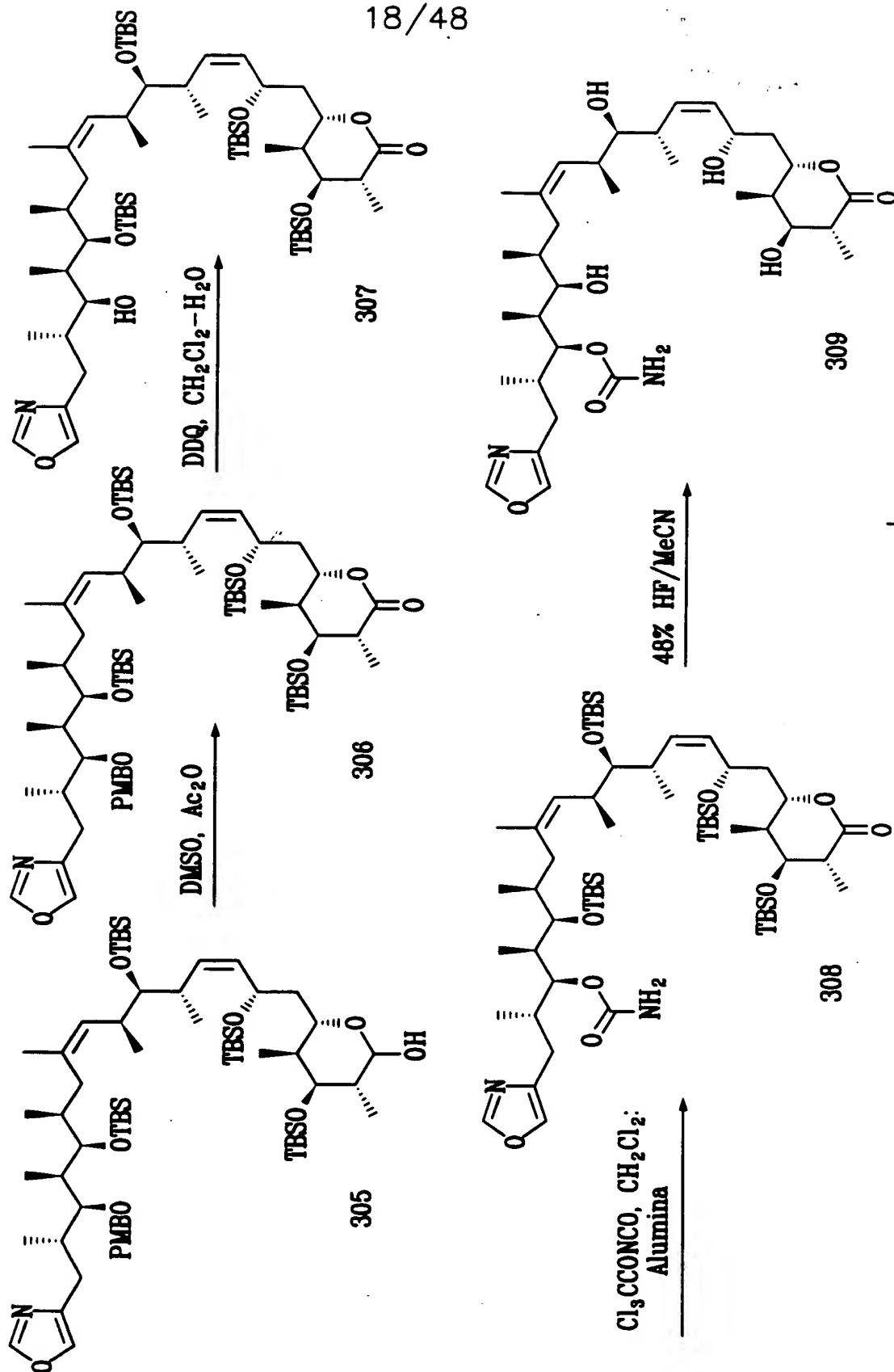


202210-62622-60

FIG. 21



**FIG. 22**



APPROVED	O.G. FIG.
BY	CLASS
DRAFTSMAN	SUBCLASS
	549
	292

19/48

FIG. 23

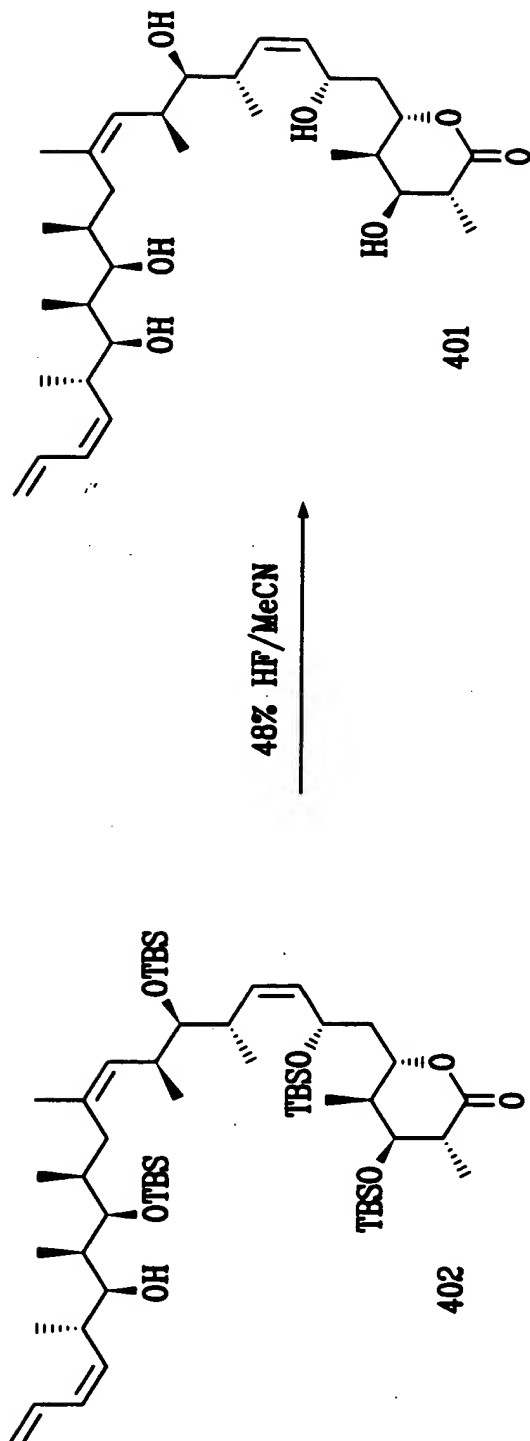
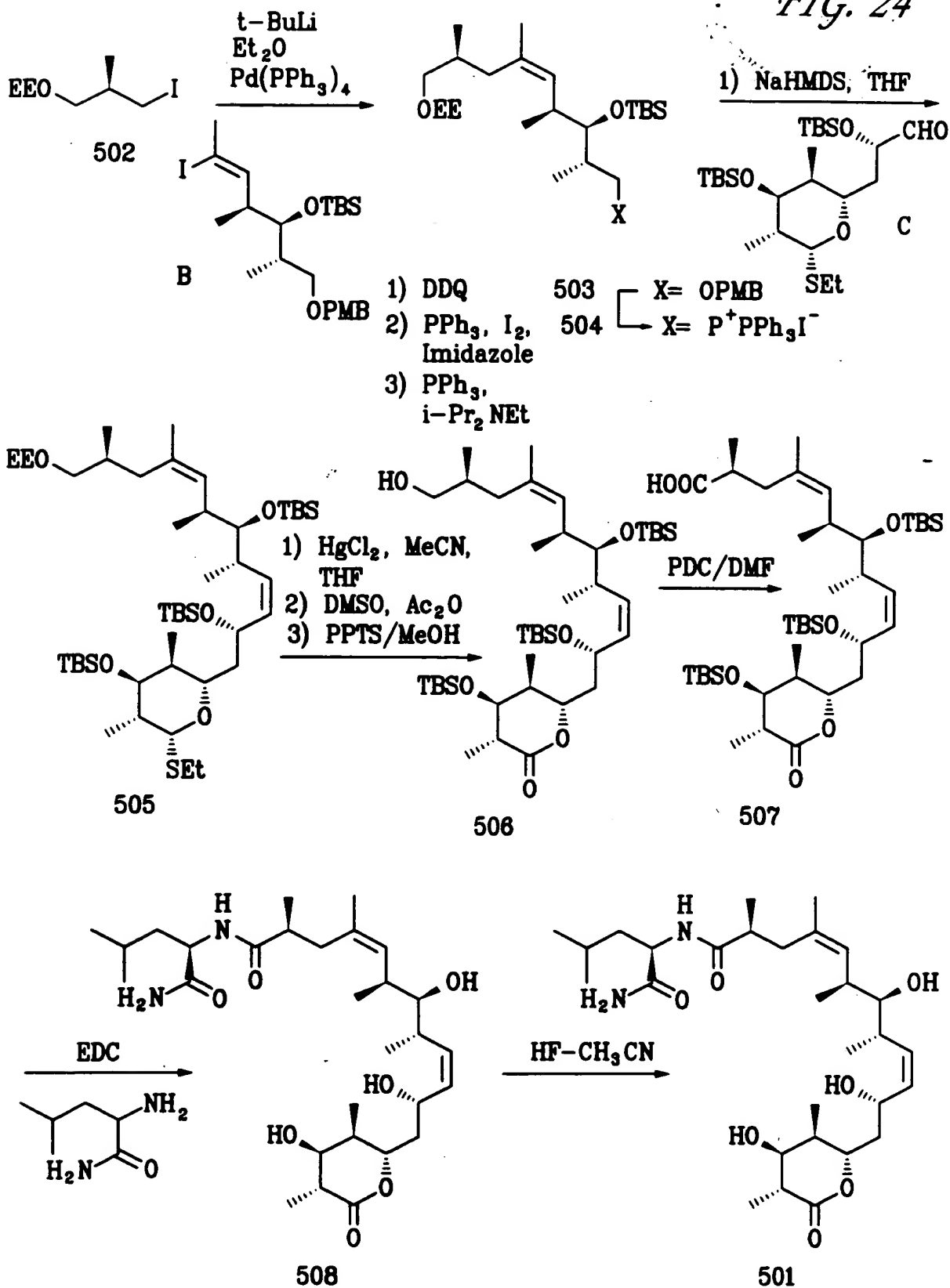
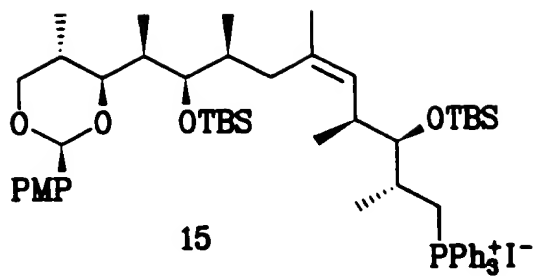


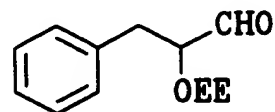
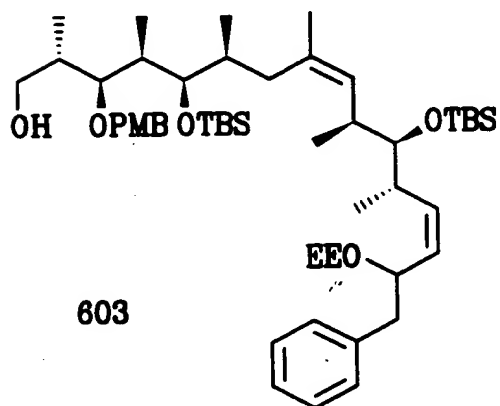
Figure 1. The effect of the number of trials on the number of correct responses. The number of correct responses was significantly higher for the 10-trial condition than for the 5-trial condition. Error bars represent the standard error of the mean.

FIG. 24

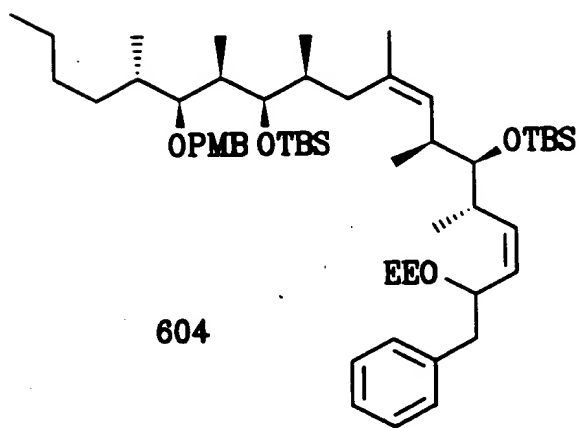




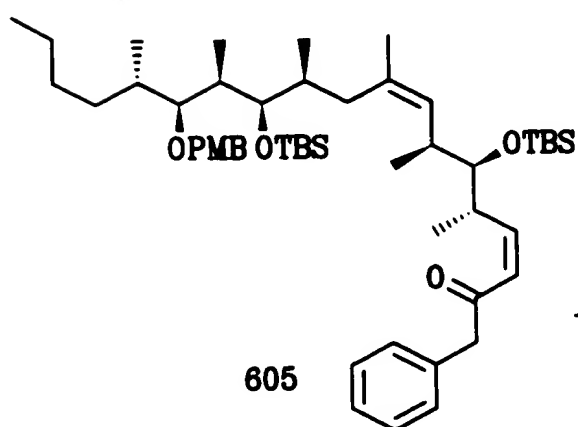
1) NaHMDS, THF

2) DIBAL, CH<sub>2</sub>Cl<sub>2</sub>

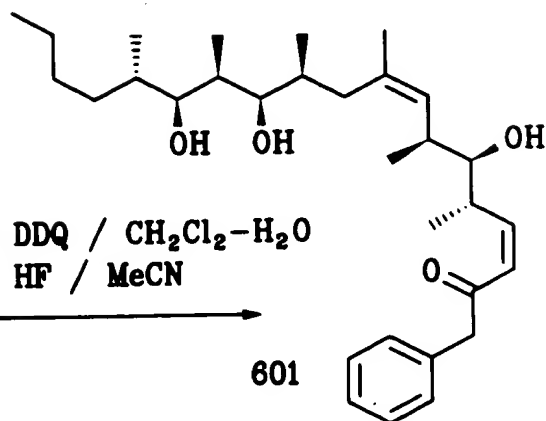
1) TsCl, Pyr.

2) Pr<sub>2</sub>CuLi / Et Q

1) PPTS/MeOH

2) MnO<sub>2</sub>, PhH1) DDQ / CH<sub>2</sub>Cl<sub>2</sub>-H<sub>2</sub>O

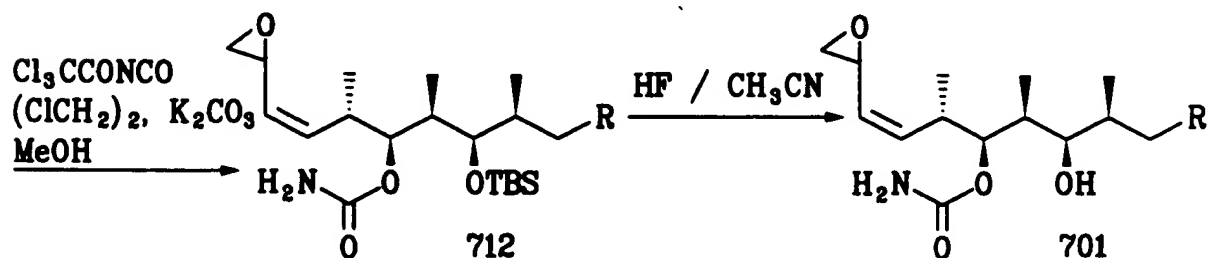
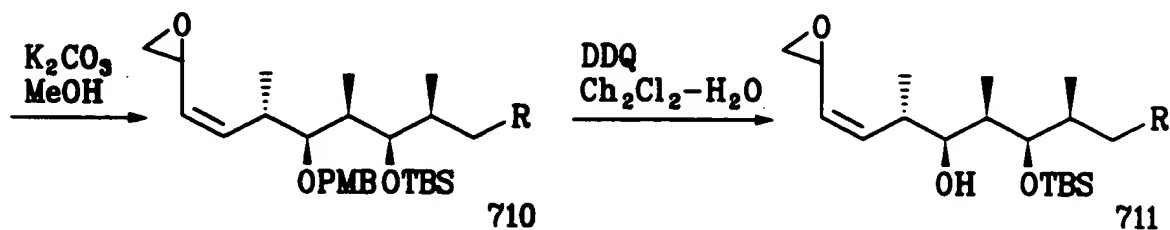
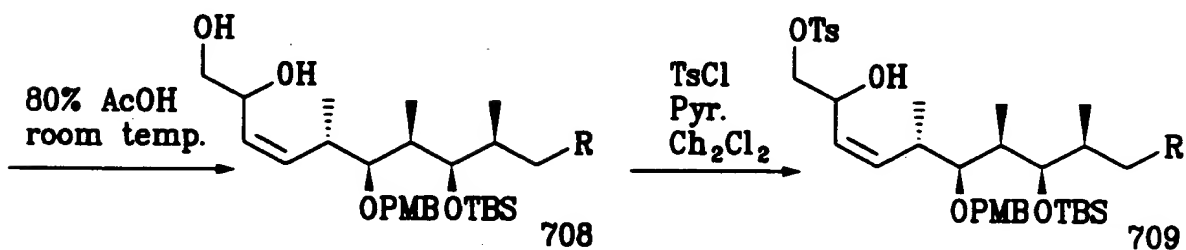
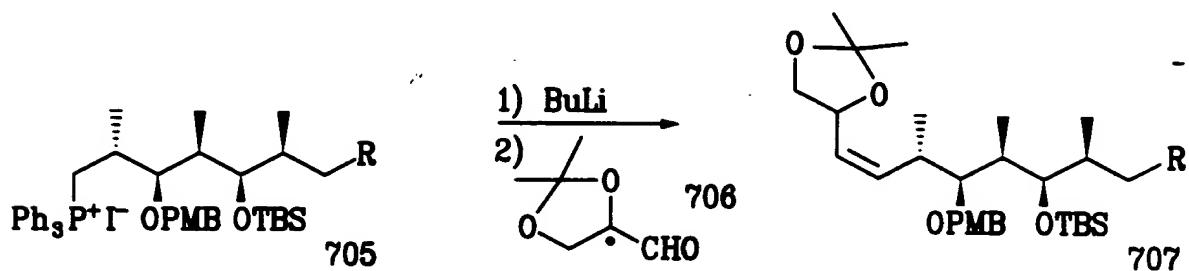
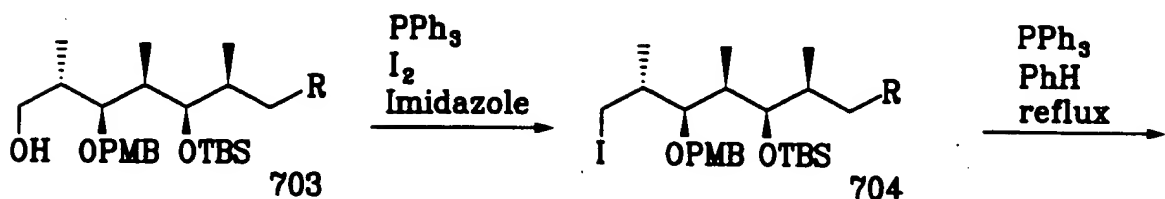
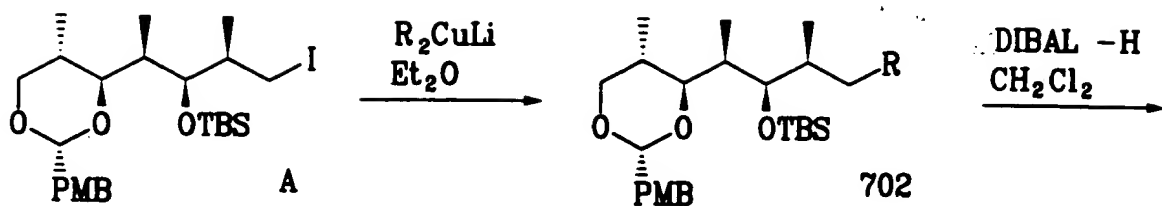
2) HF / MeCN

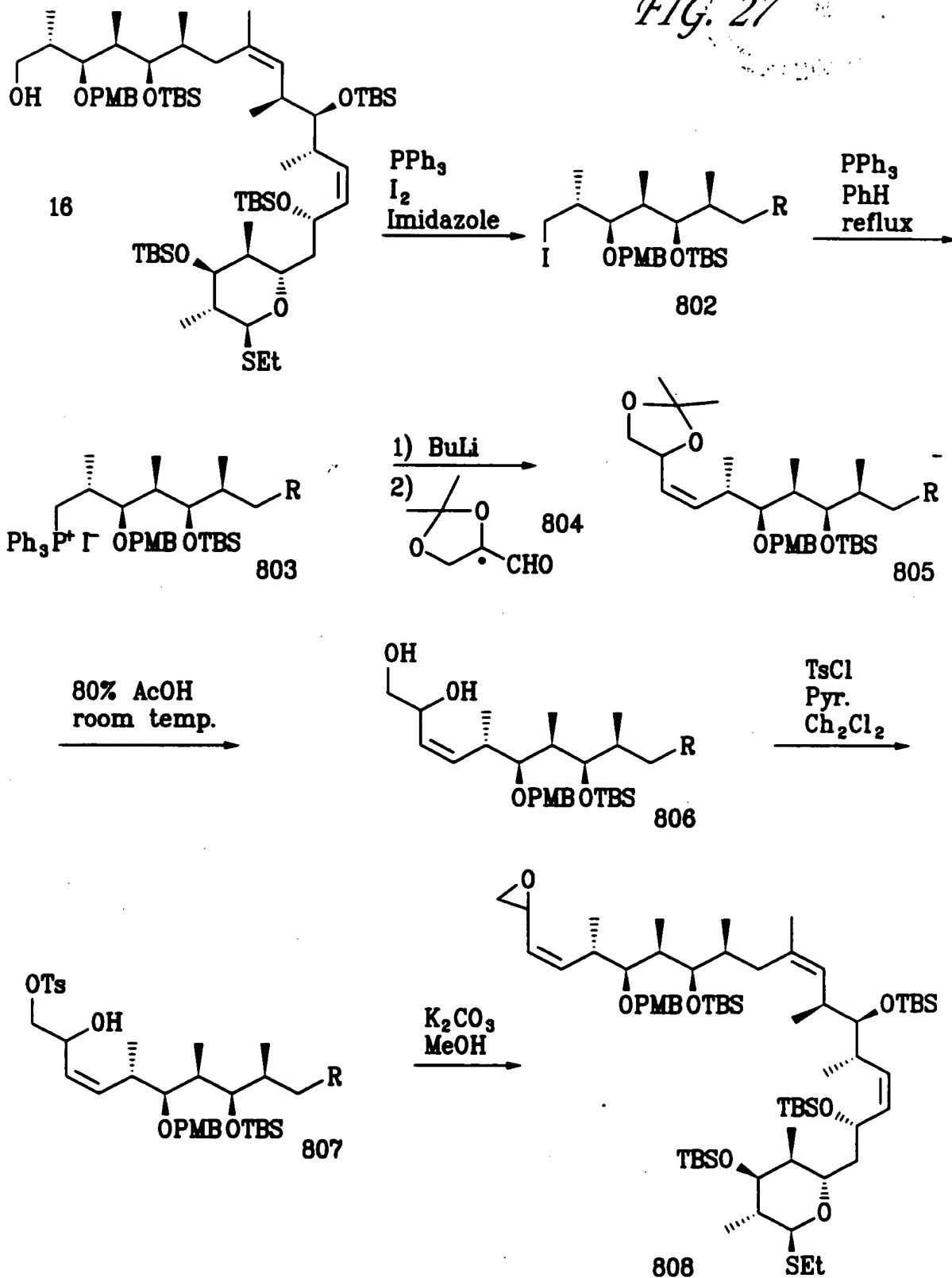


22/48

FIG. 26

APPROVED	O.G. FIG.	SUBCLASS
	CLASS	
BY	549	292
DRAFTSMAN		

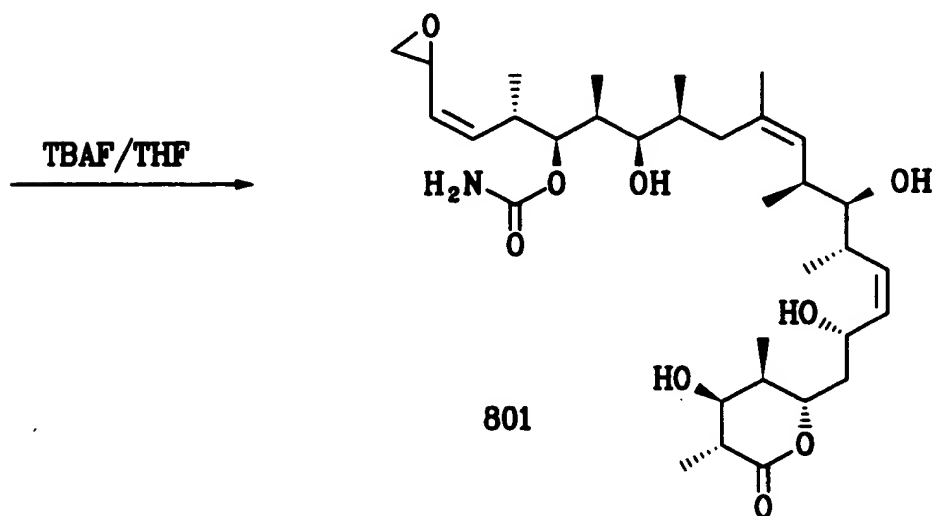
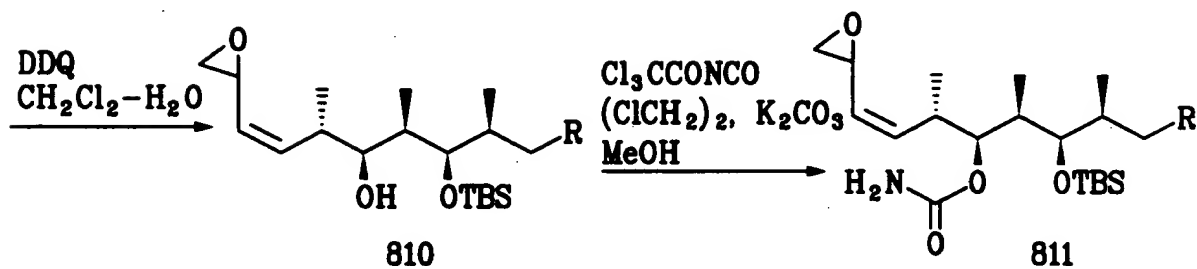
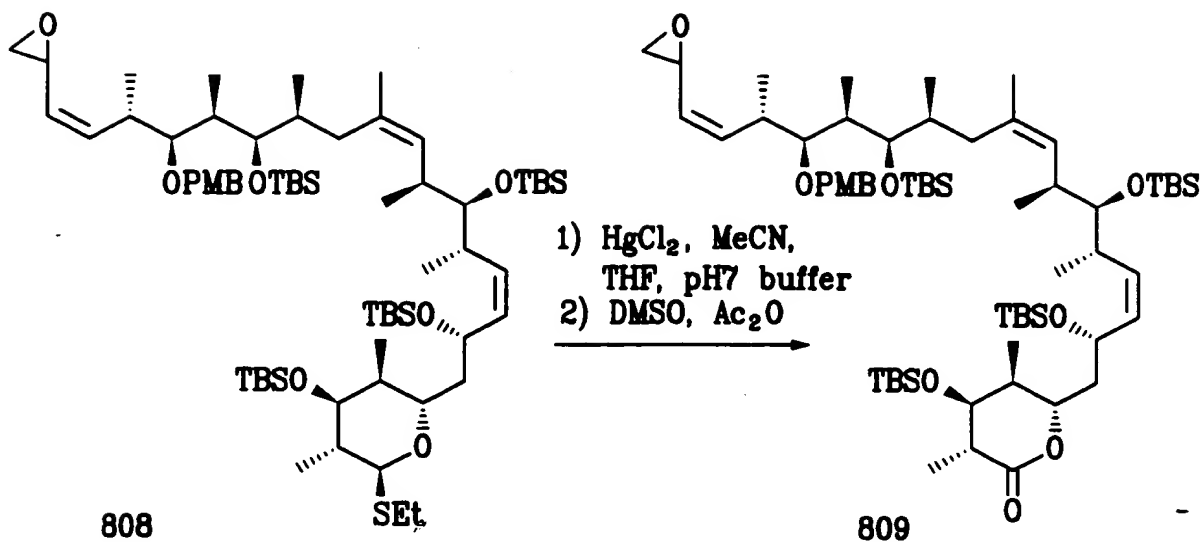


[illegible]

APPROVED	O.G. FIG.	
	BY	CLASS
DRAFTSMAN	599	
	SUBCLASS 299	

24/48

FIG. 28

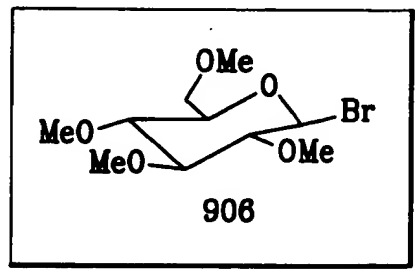
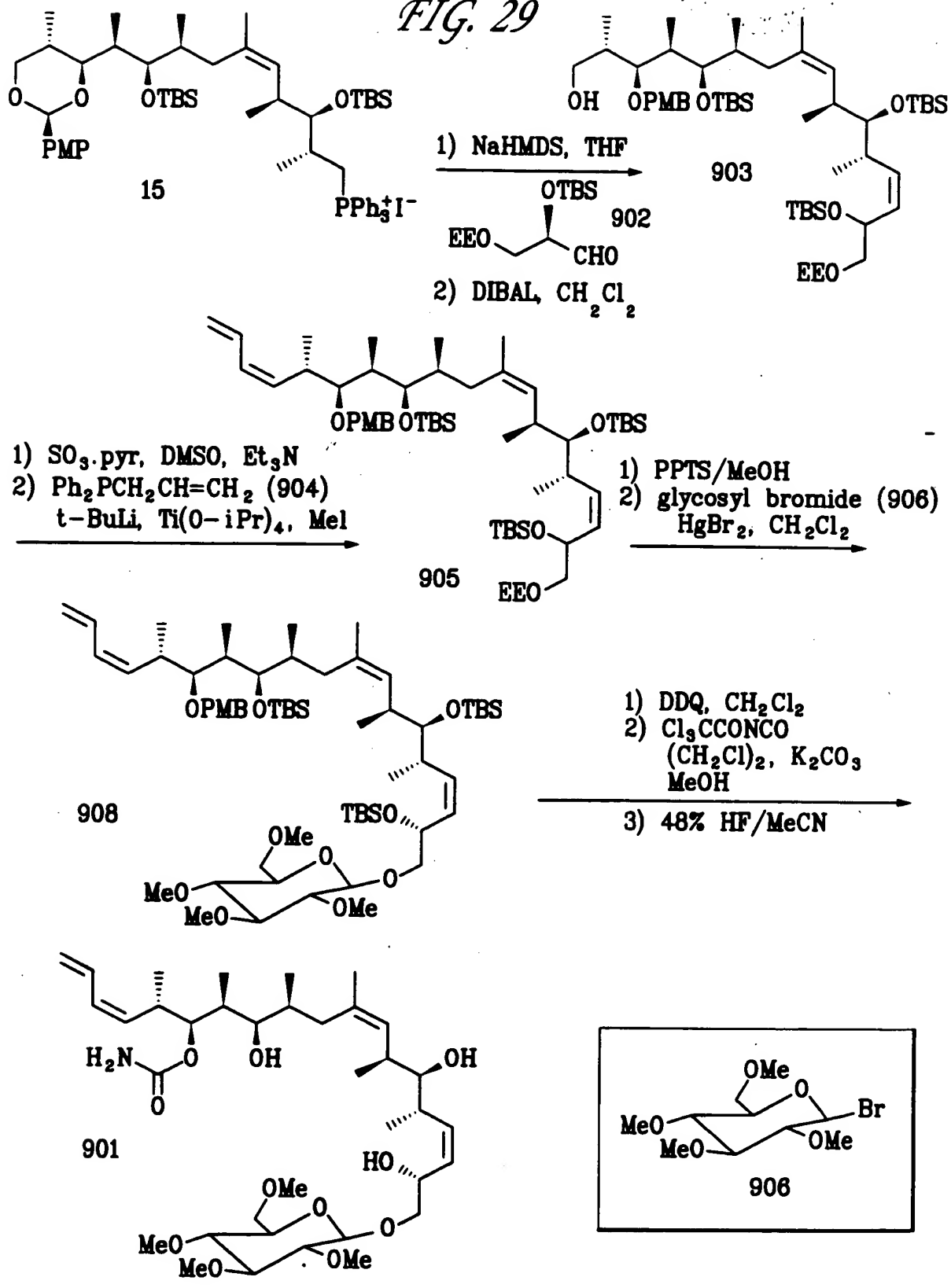




APPROVED	BY	CLASS	SUBCLASS
	DRAFTSMAN	549	292

25/48

FIG. 29



202210 66002/60

FIG. 30

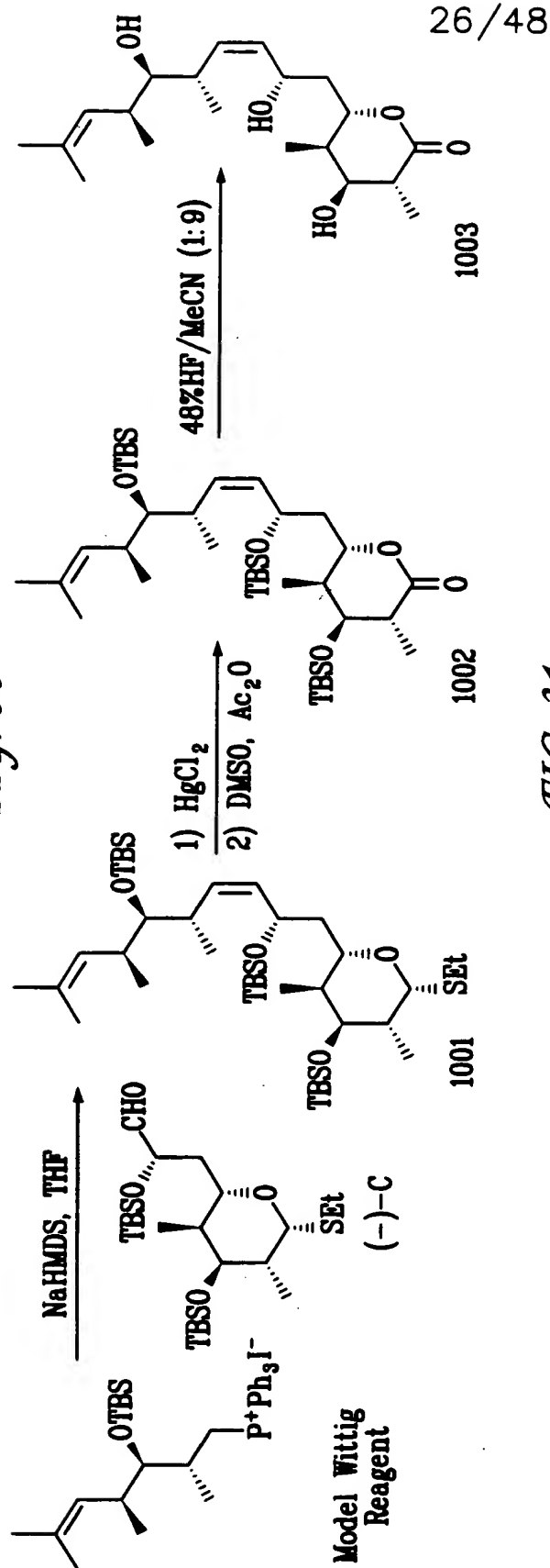
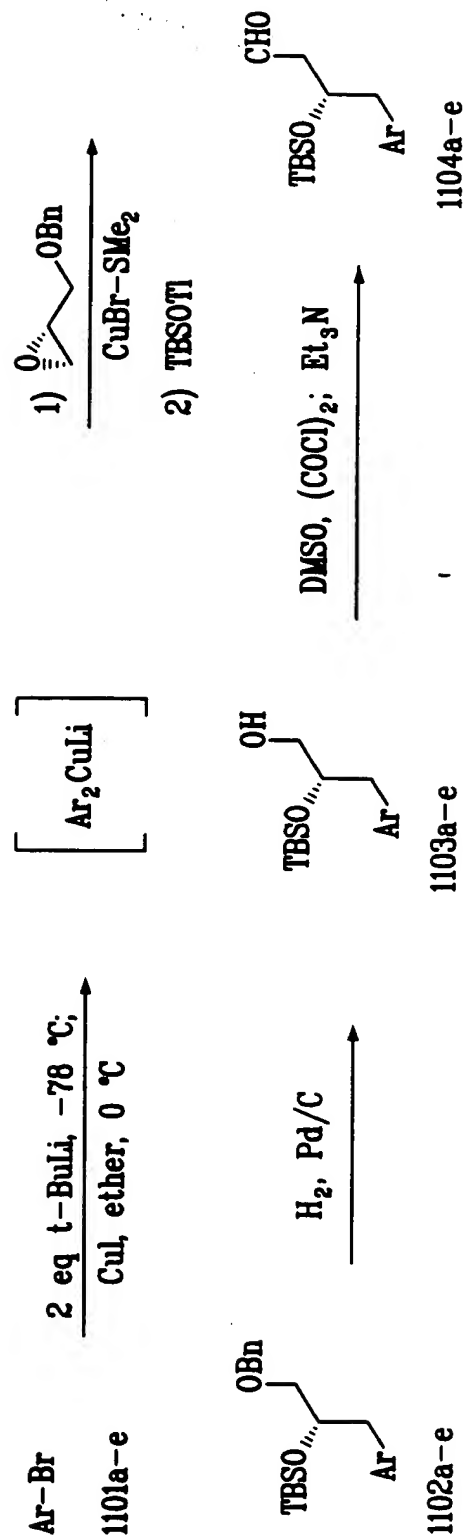
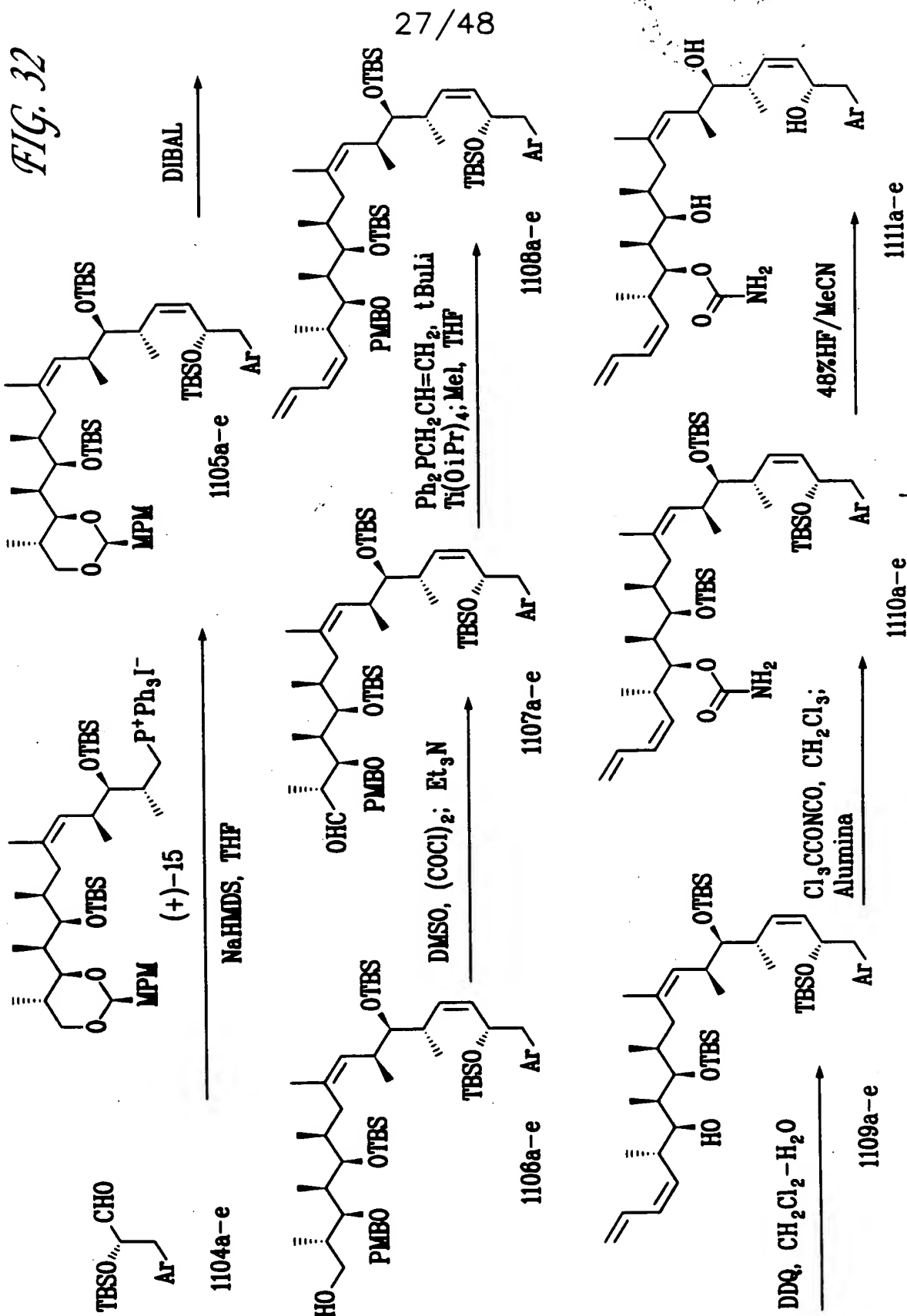


FIG. 31

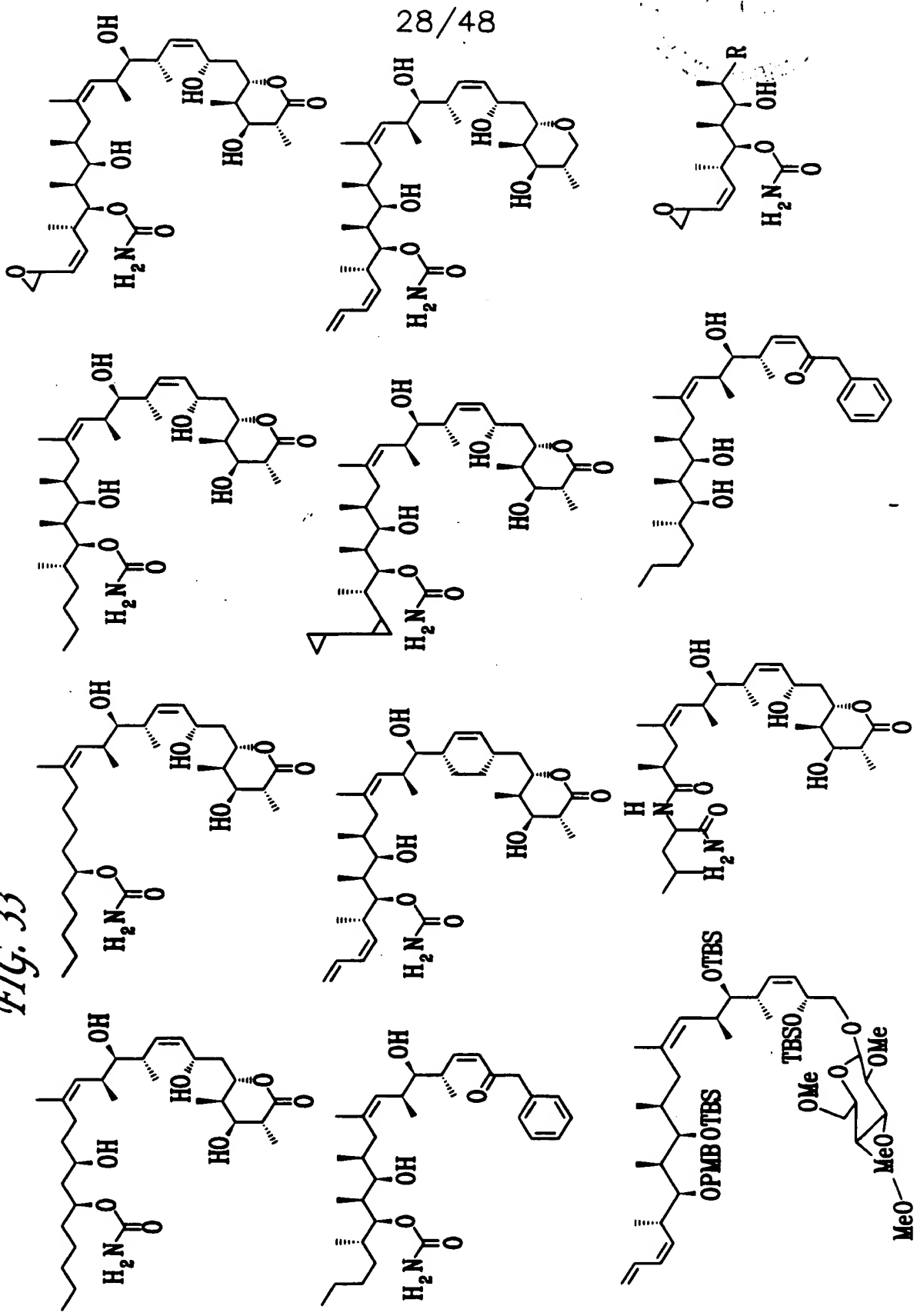




APPROVED	O.G. FIG.
BY	CLASS
DRAFTSMAN	SUBCLASS
	549 292

20210706000000

FIG. 33



APPROVED	O.G. FIG.
BY	CLASS
DRAFTSMAN	S49
	292

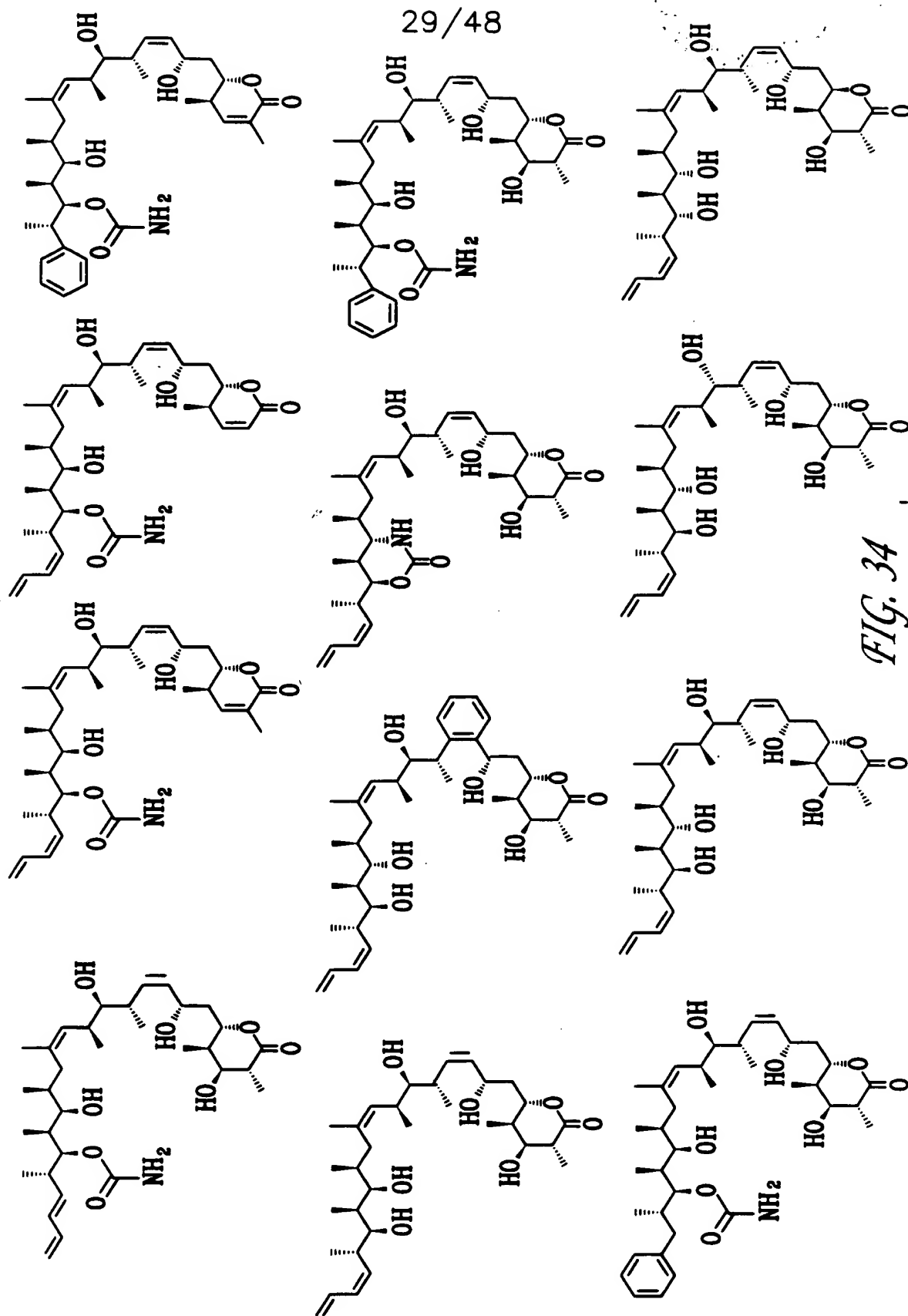


FIG. 34

APPROVED	O.G. FIG.
BY	CLASS
DRAFTSMAN	SUBCLASS
	549 292

202510 63602468

FIG. 35

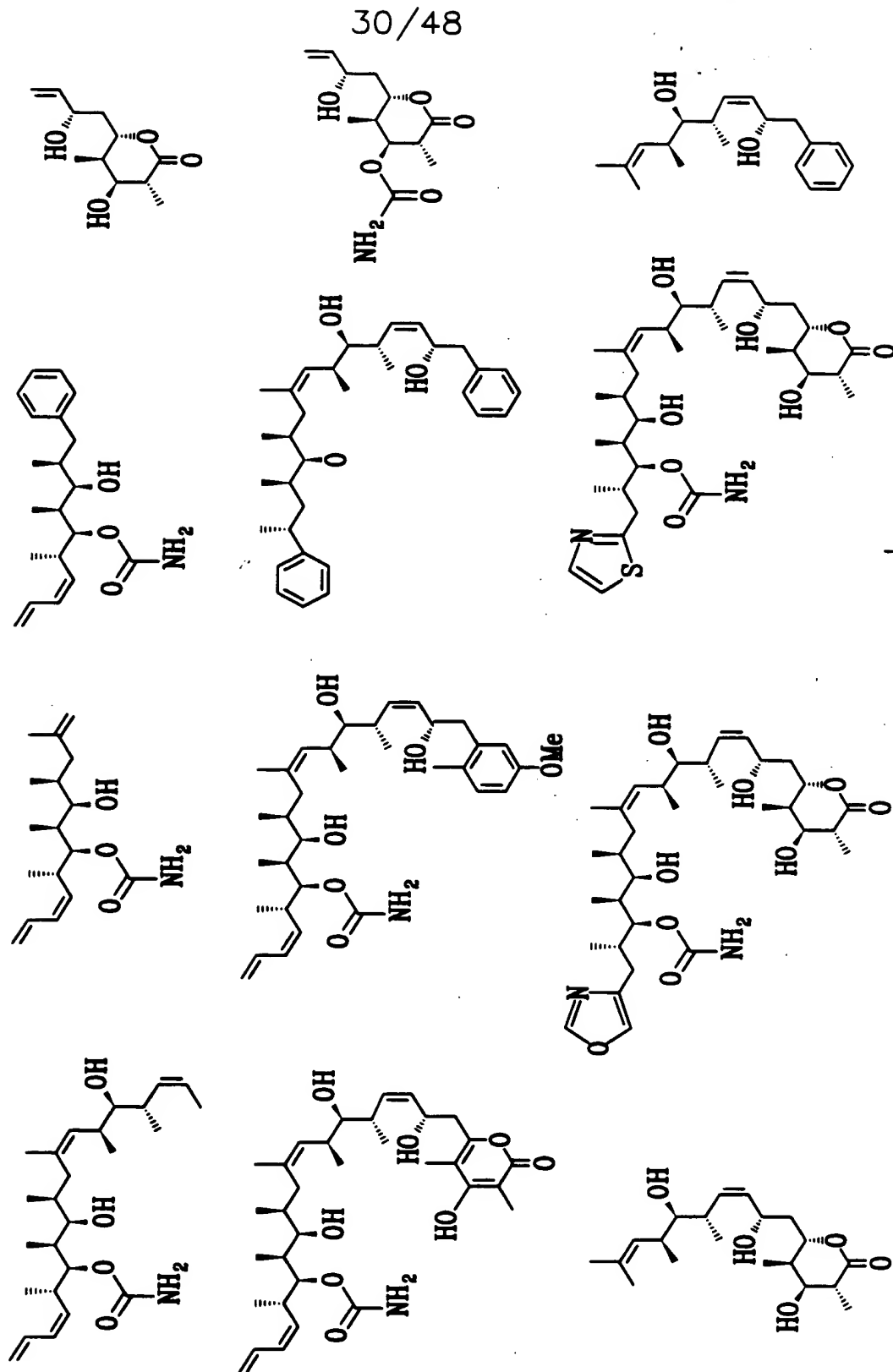
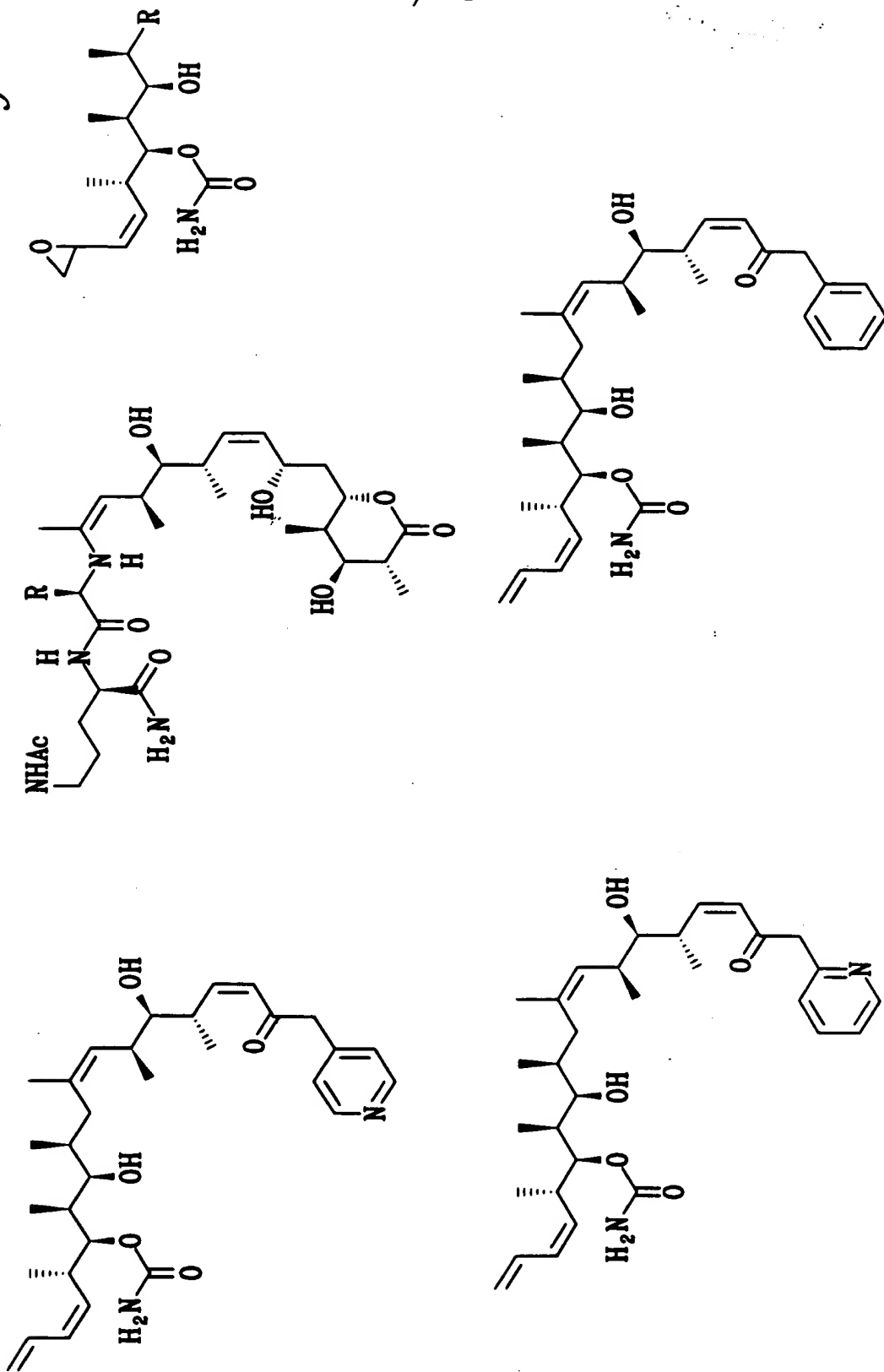


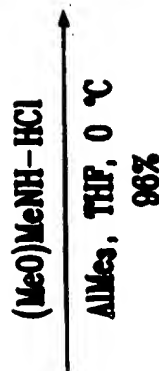
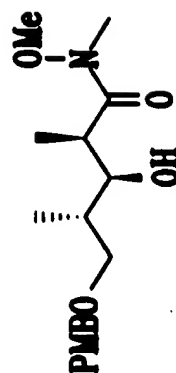
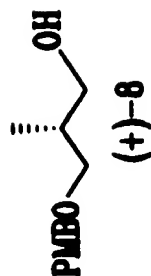
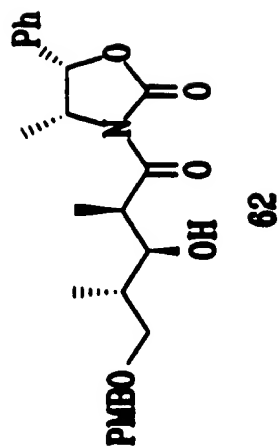
FIG. 36



APPROVED	O.G. FIG.
BY	CLASS
DRAFTSMAN	SUBCLASS
	549 192

32/48

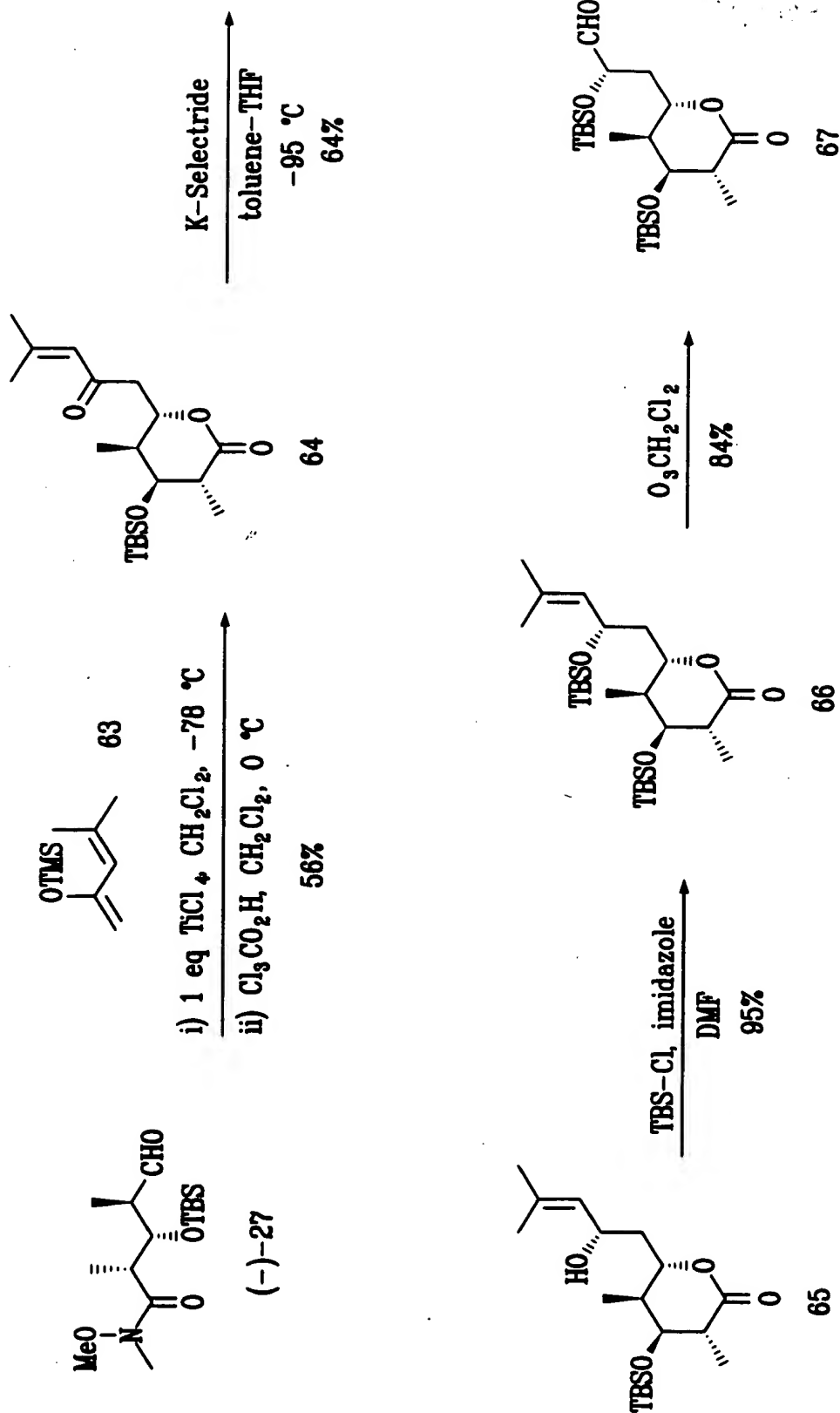
FIG. 37





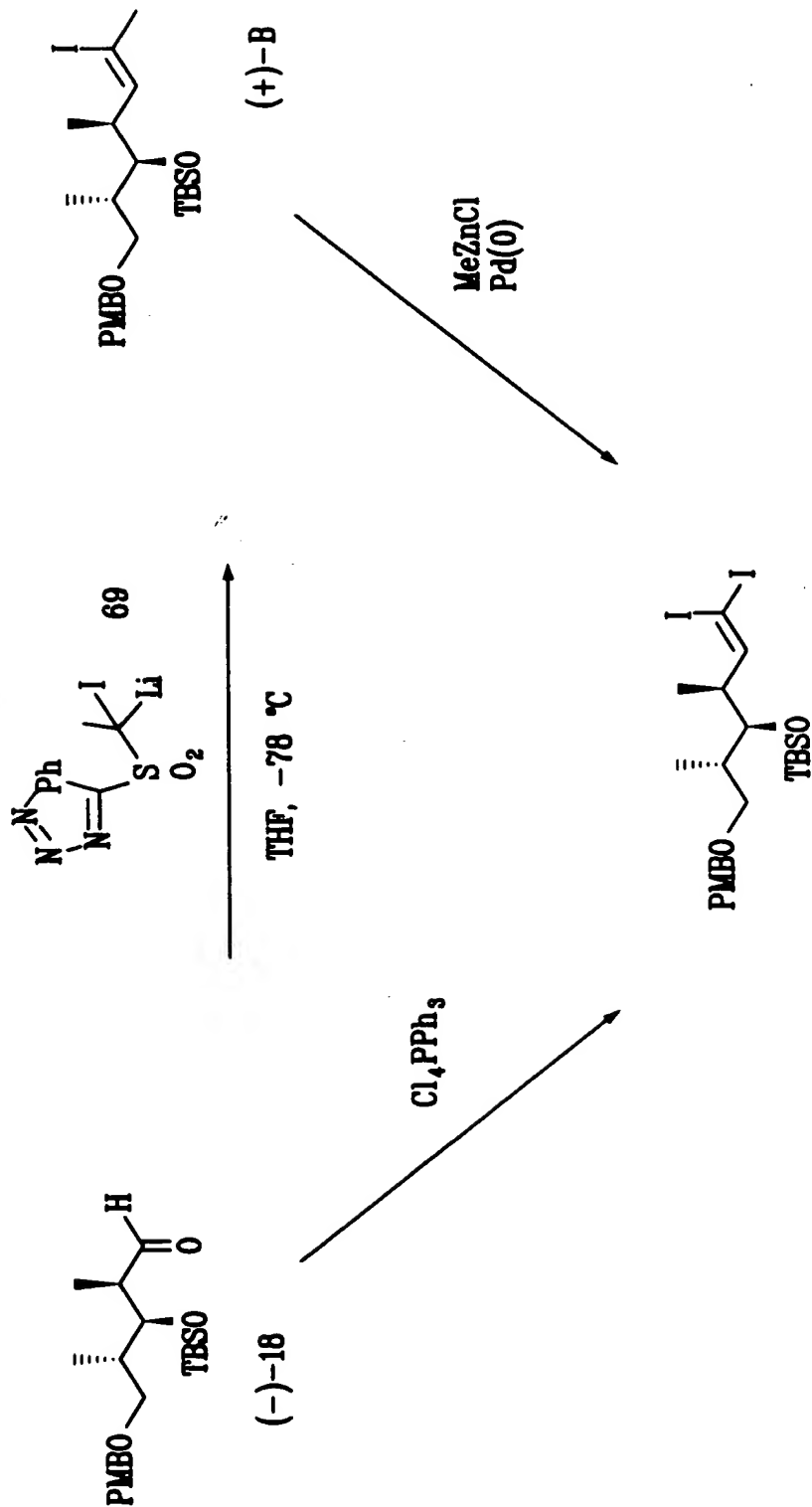
APPROVED	O.G. FIG.
BY	CLASS
DRAFTSMAN	549
	292

FIG. 38



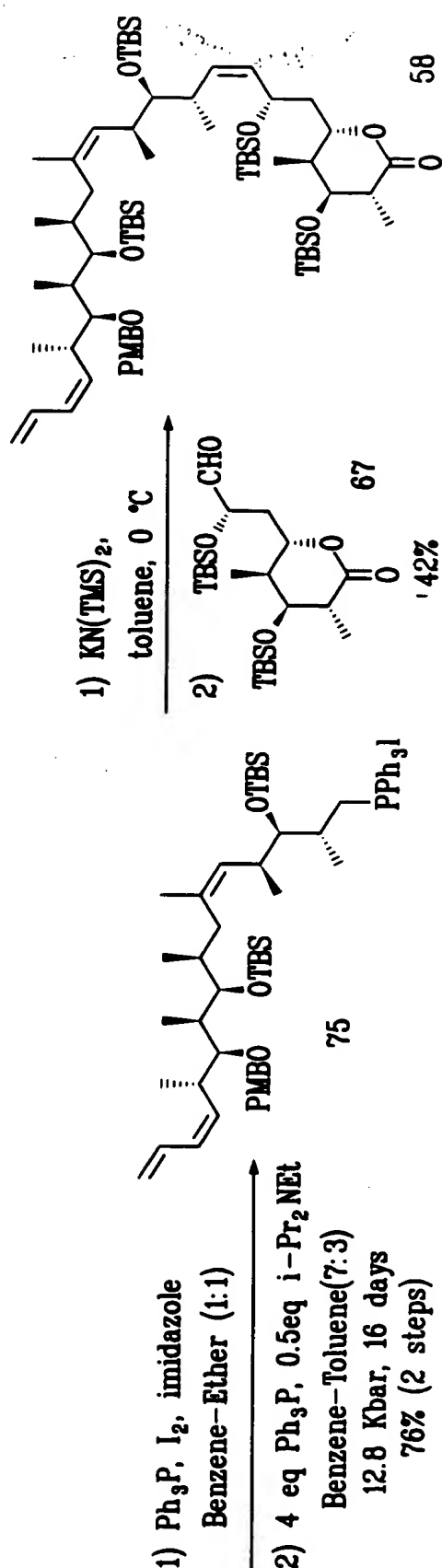
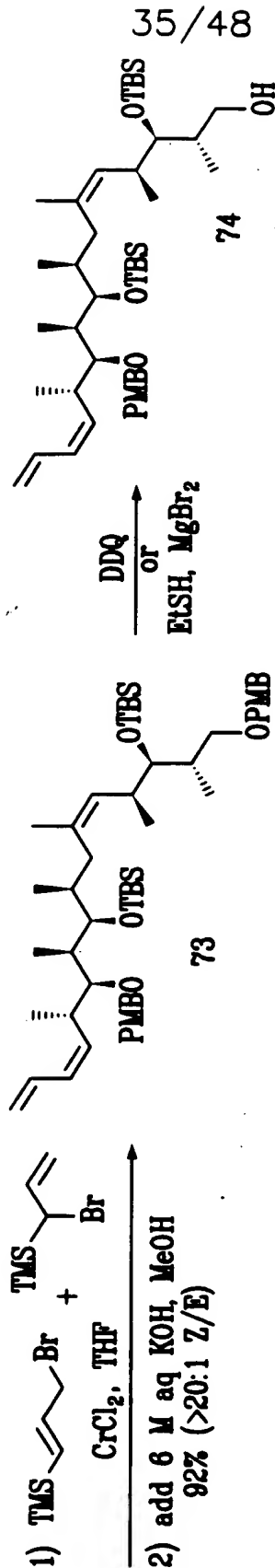
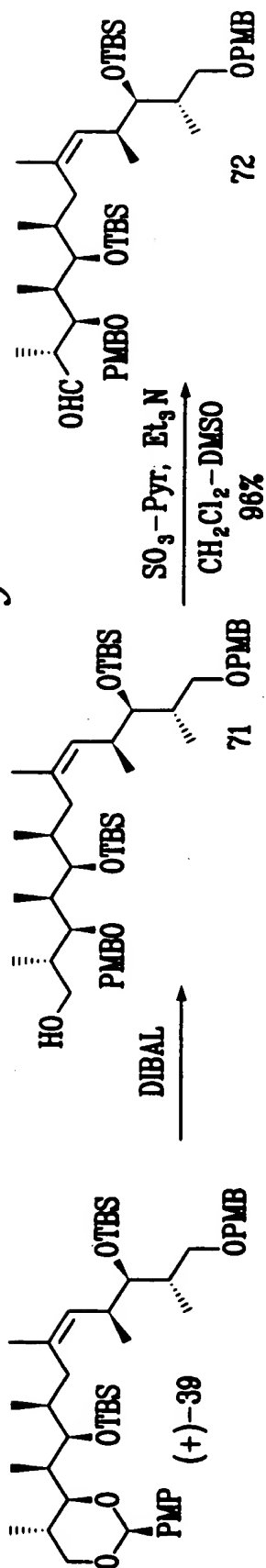
APPROVED	O.G. FIG.	
BY	CLASS	SUBCLASS
	549	292
DRAFTSMAN		

**FIG. 39**

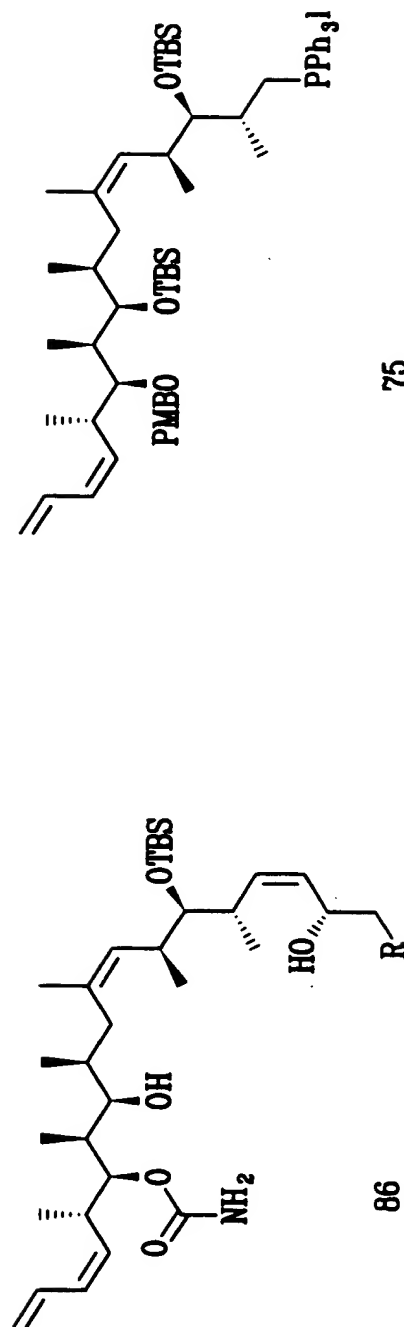
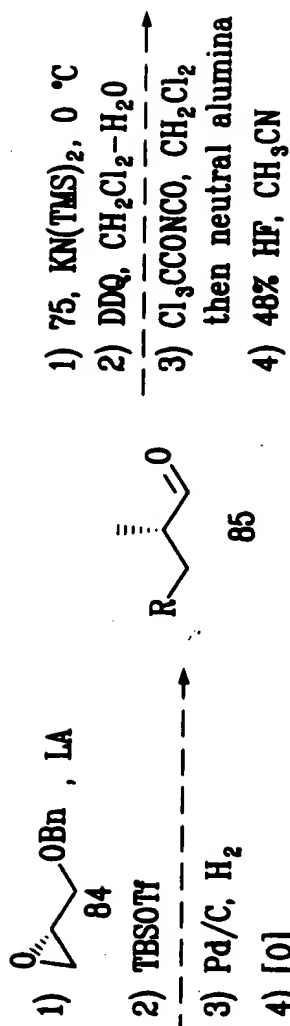
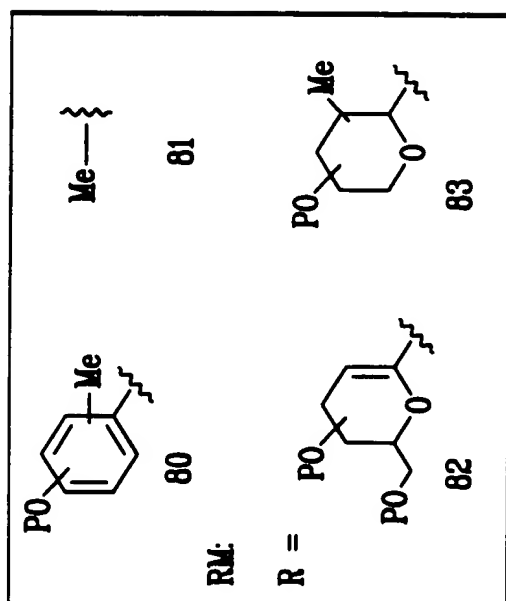


02

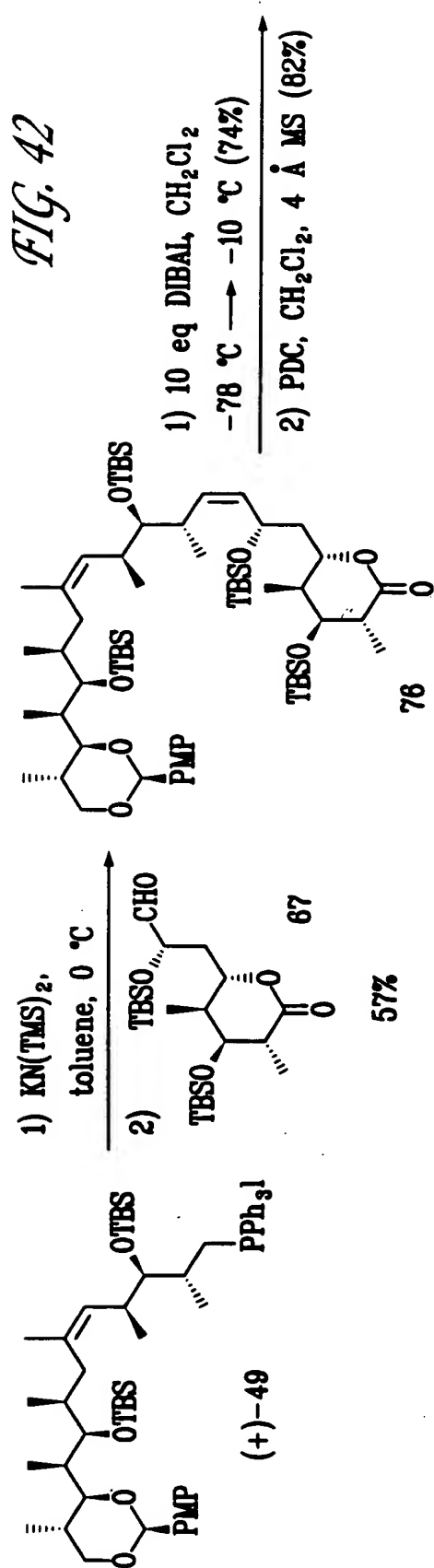
FIG. 40



**FIG. 41**



APPROVED	O.G. FIG.
BY	CLASS
DRAFTSMAN	SUBCLASS
	549 292



37, 48

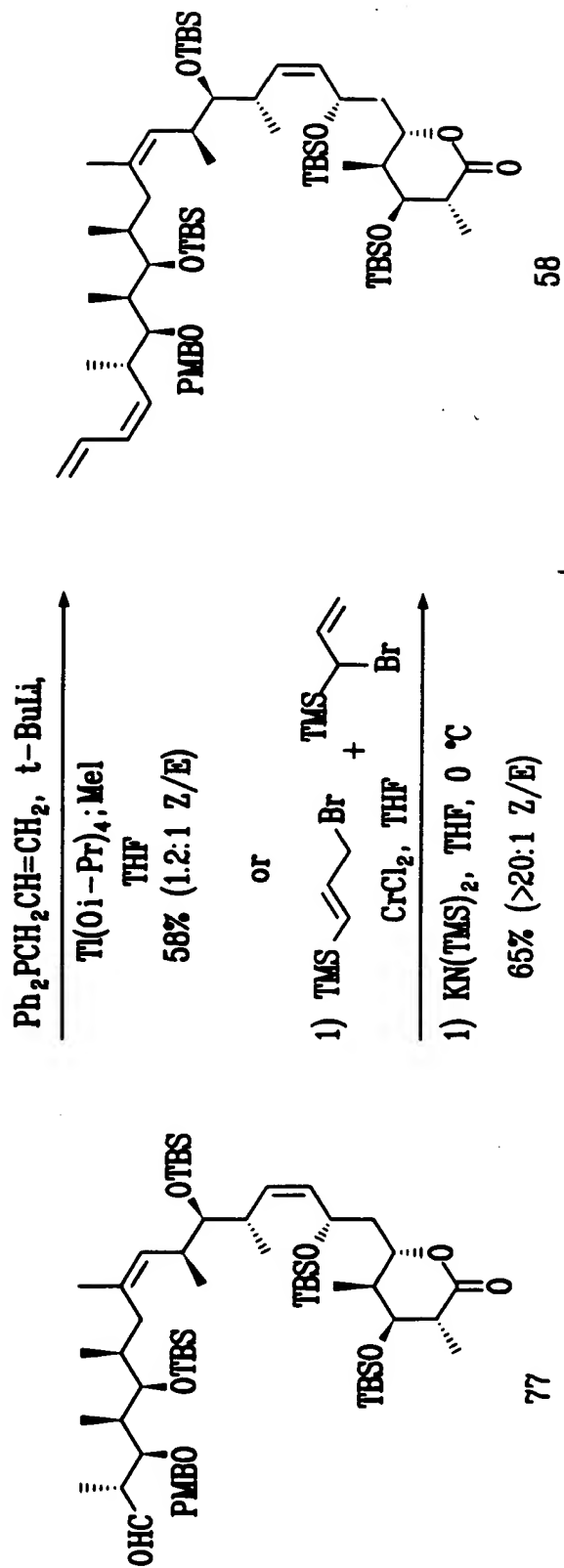
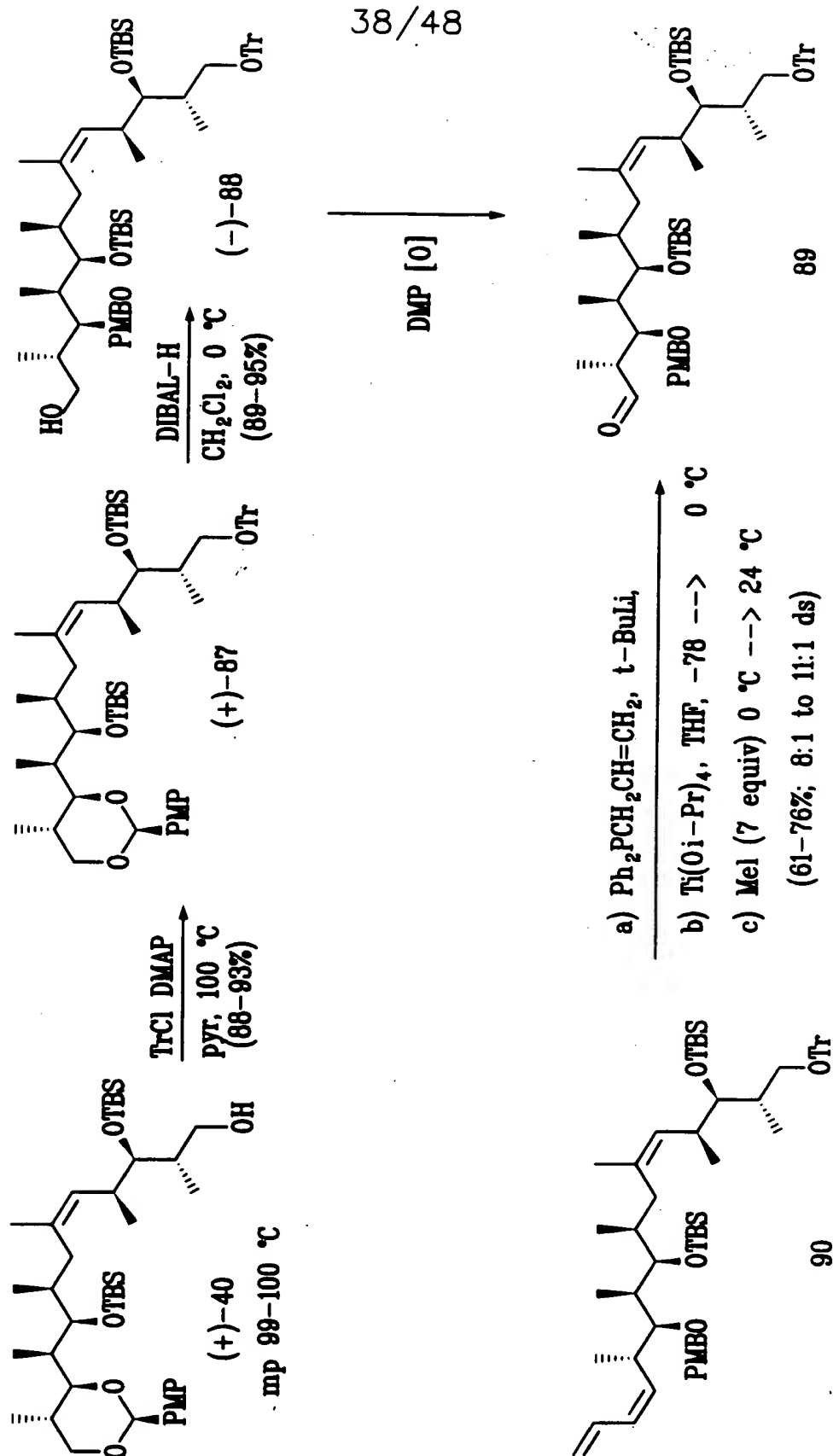


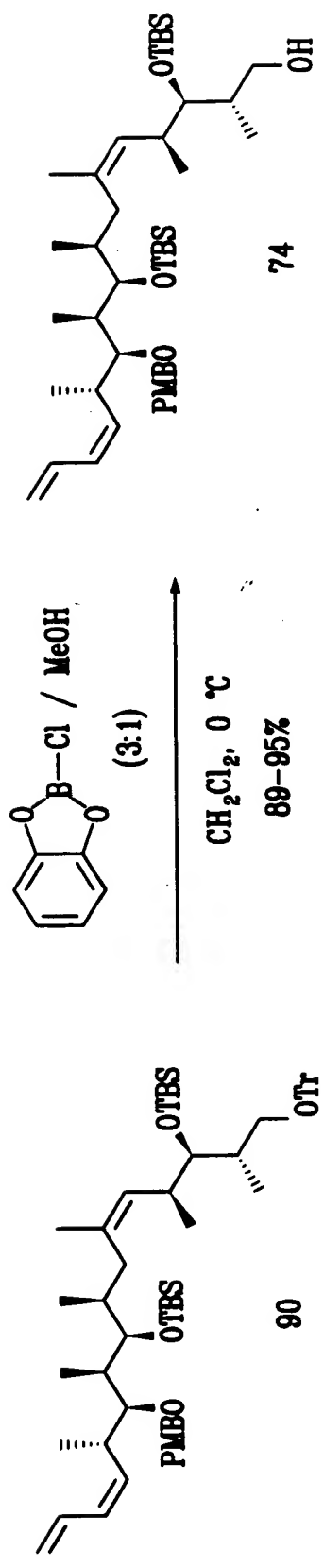
FIG. 43



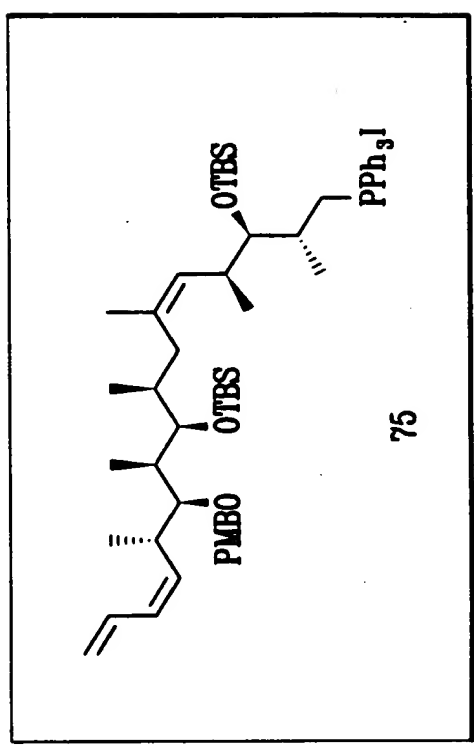
SECRET

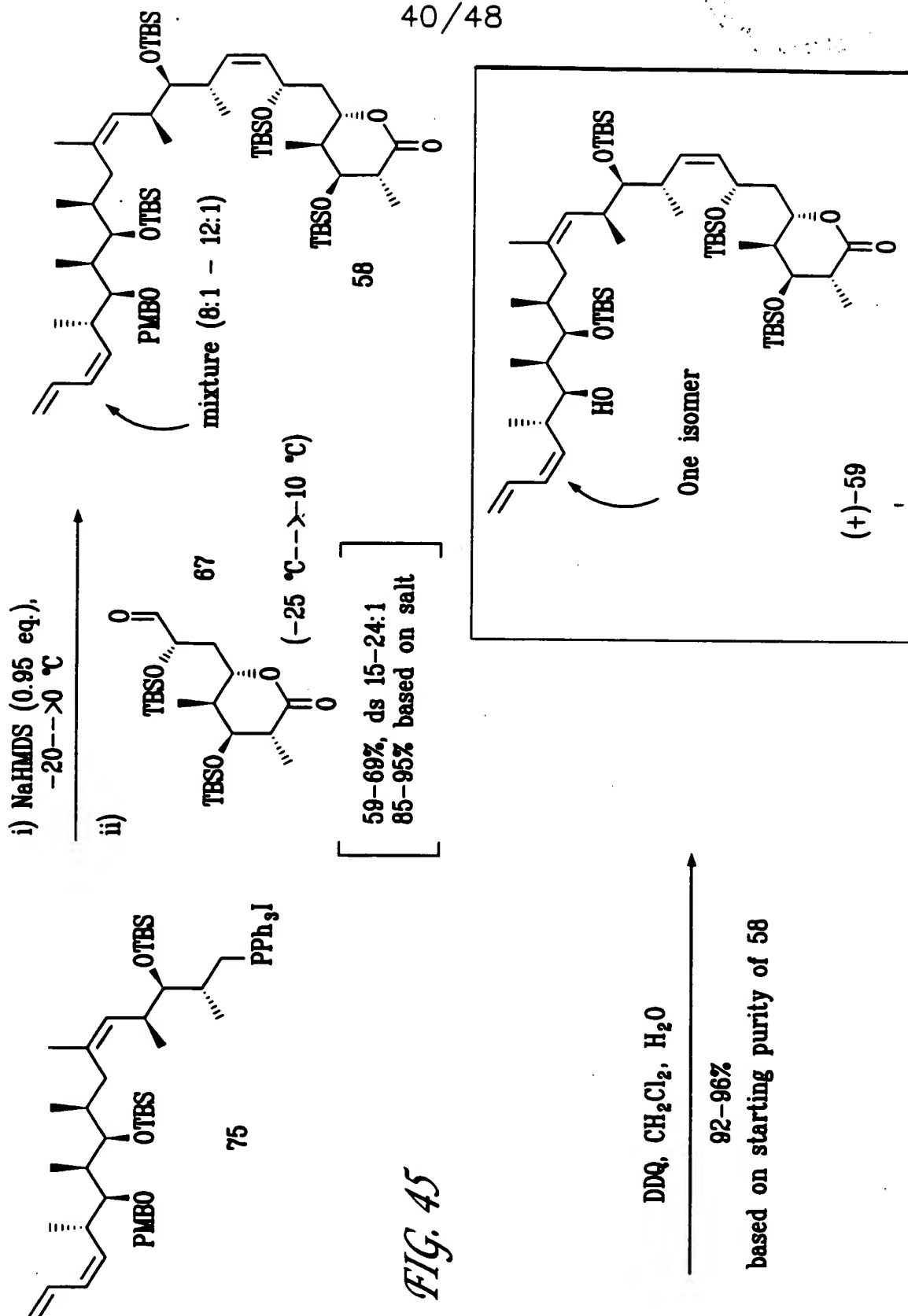
APPROVED	O.G. FIG.
BY	CLASS
DRAFTSMAN	SUBCLASS
	549 292

FIG. 44



39/48





**DDQ, CH<sub>2</sub>Cl<sub>2</sub>, H<sub>2</sub>O**

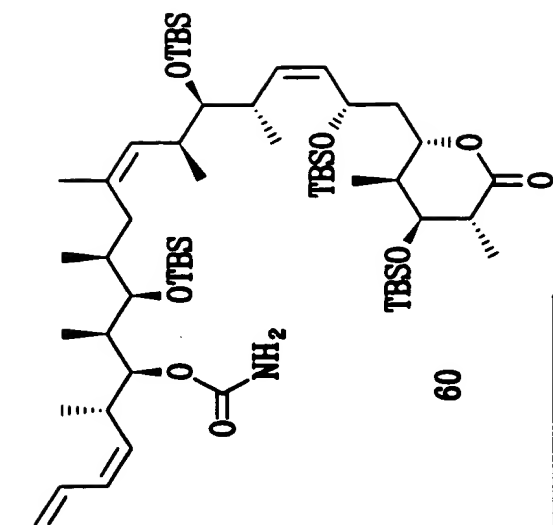
**92-96%**

**based on starting purity of 58**



APPROVED	BY	CLASS	OG FIG.
		549	292
	DRAFTSMAN		

41/48

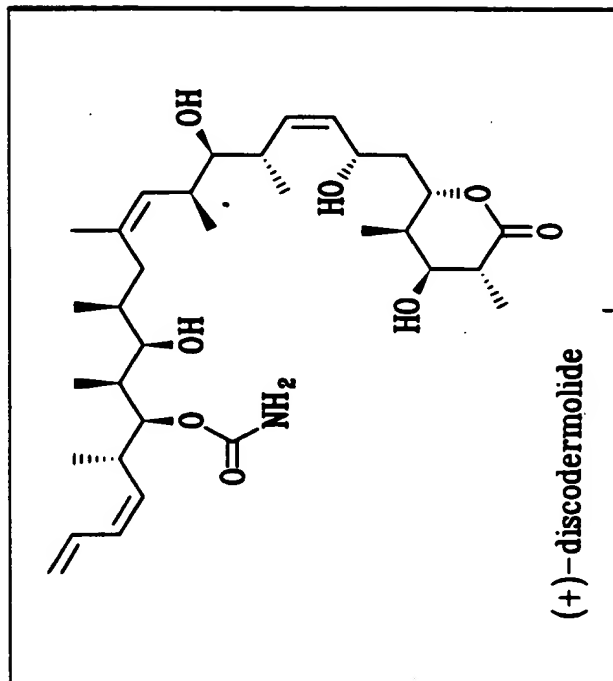


60

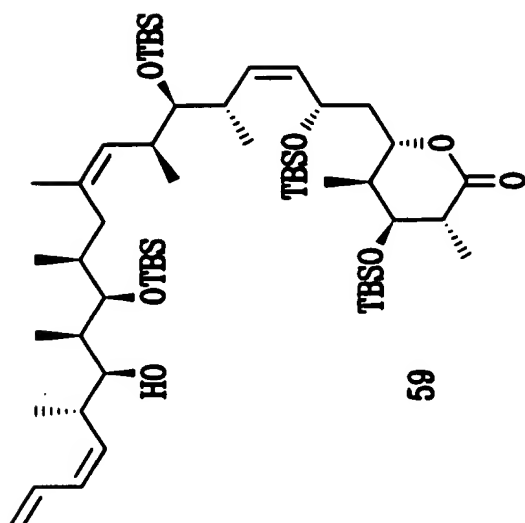
FIG. 46

a)  $\text{Cl}_3\text{CCONCO}$ ,  $\text{CH}_2\text{Cl}_2$ ;

b) Neutral  $\text{Al}_2\text{O}_3$   
(85-95%)



(+)-discodermolide



59

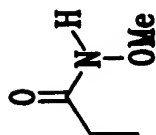
3N  $\text{HCl}/\text{MeOH}$ ;

rt, 12 h

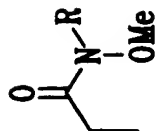
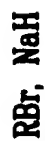
(85-93%)



43/48



95



93

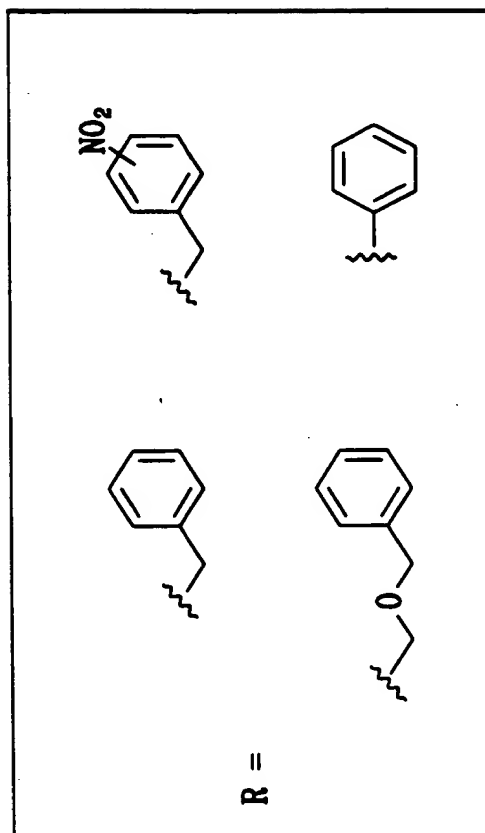
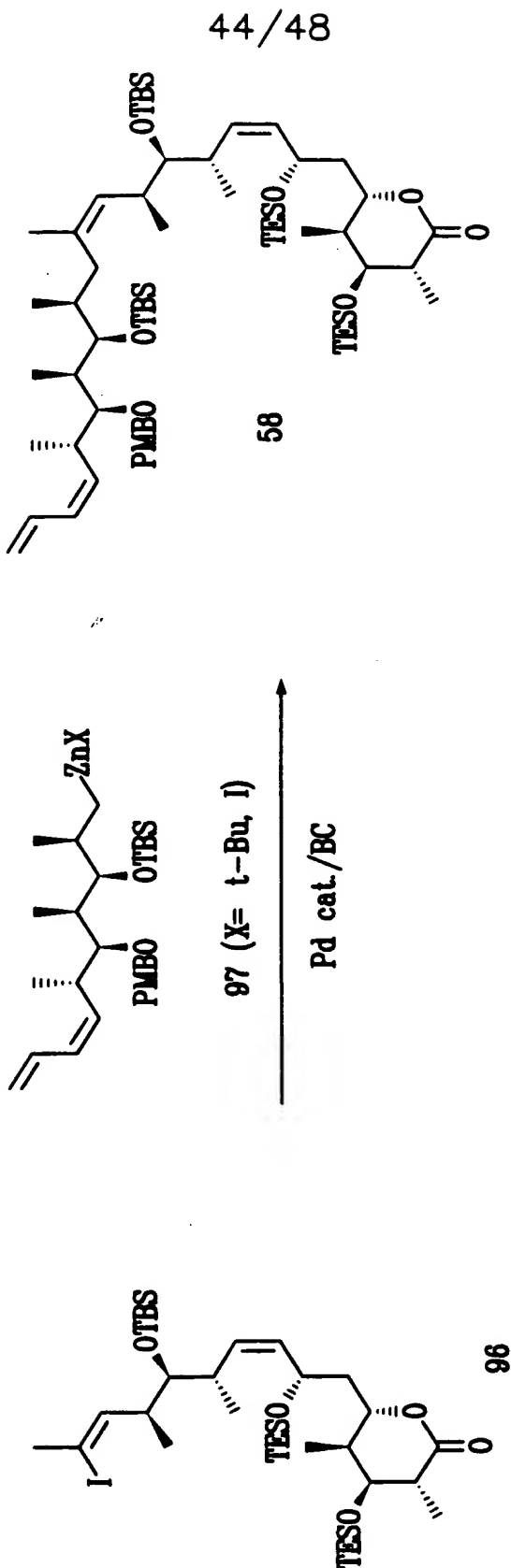


FIG. 49

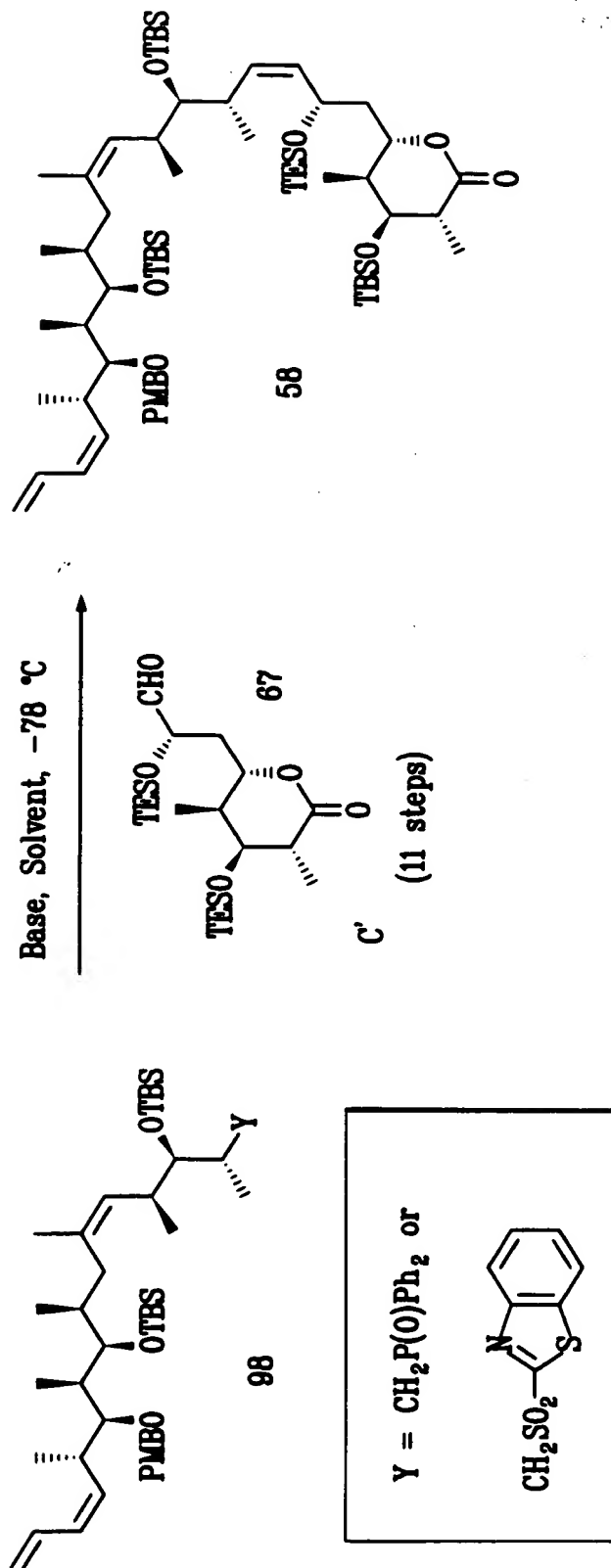
APPROVED BY DRAFTSMAN	O.G. FIG.	
	CLASS 549	SUBCLASS 292



APPROVED BY DRAFTSMAN	O.G. FIG.	
	CLASS 549	SUBCLASS 292

202310 060214

FIG. 50



APPROVED	O.G. FIG.
BY	CLASS
DRAFTSMAN	SUBCLASS
	547 292

FIG. 51

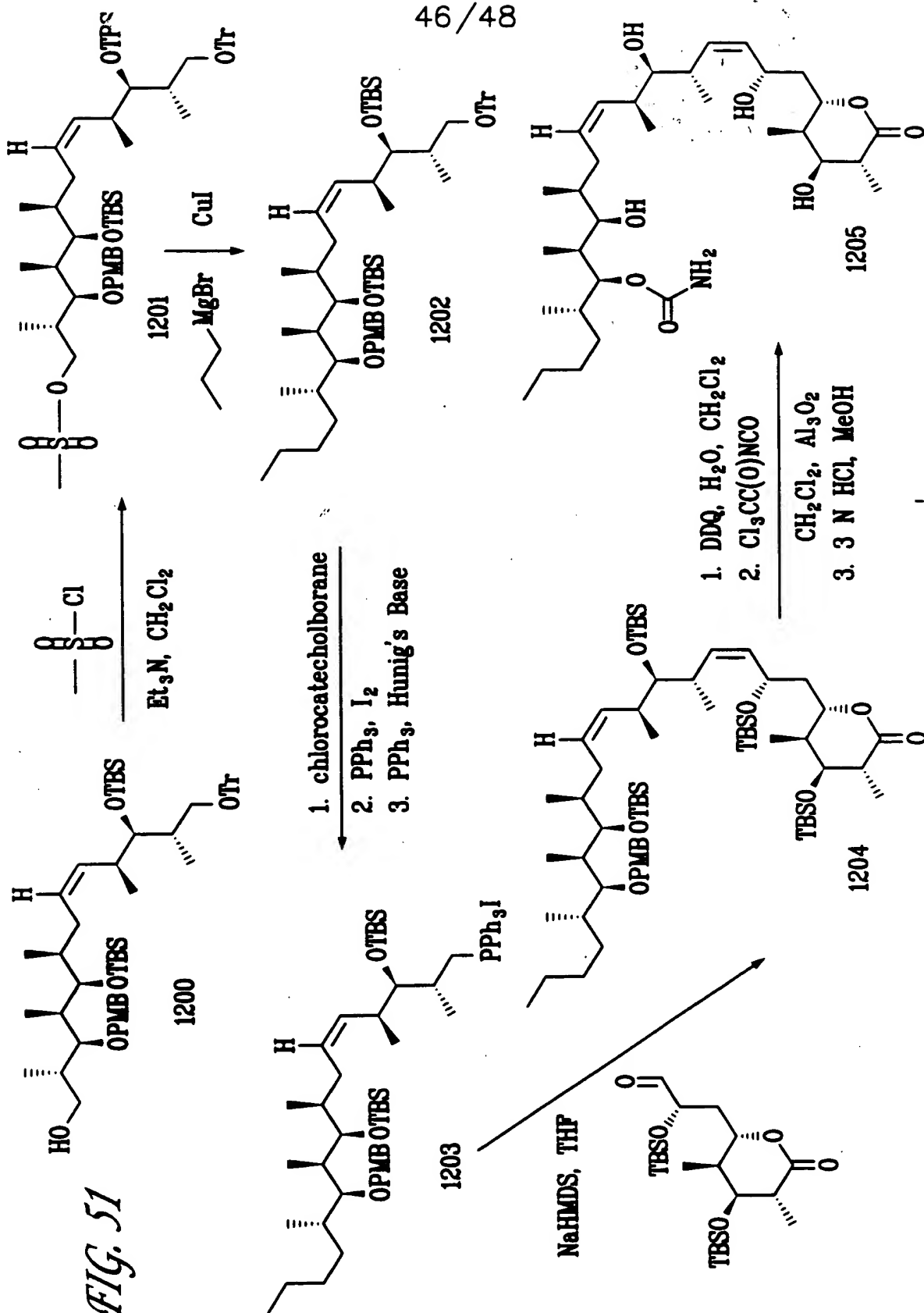
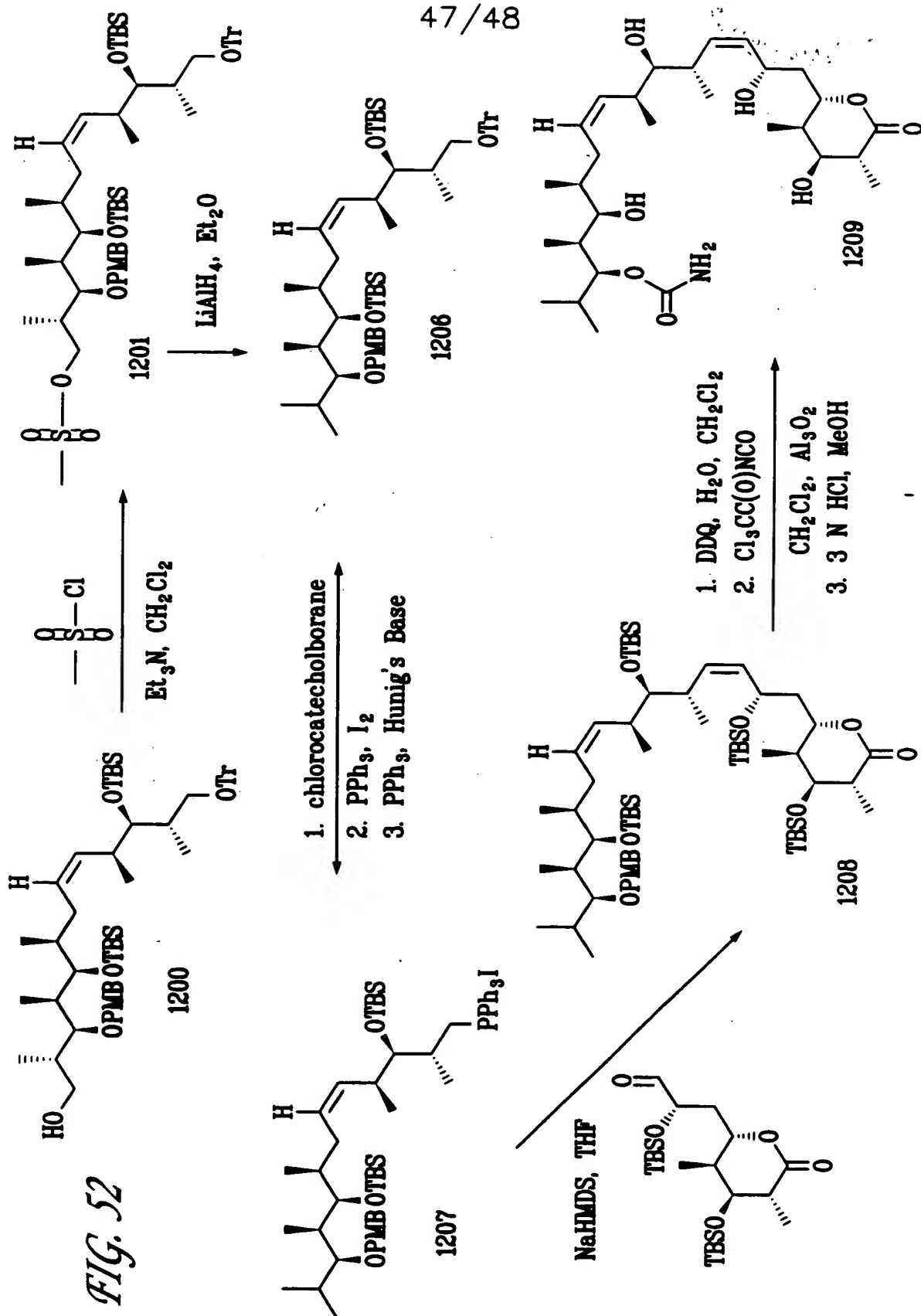


FIG. 52



APPROVED	O.G. FIG.
BY	CLASS
DRAFTSMAN	SUBCLASS
	542 292

FIG. 53

